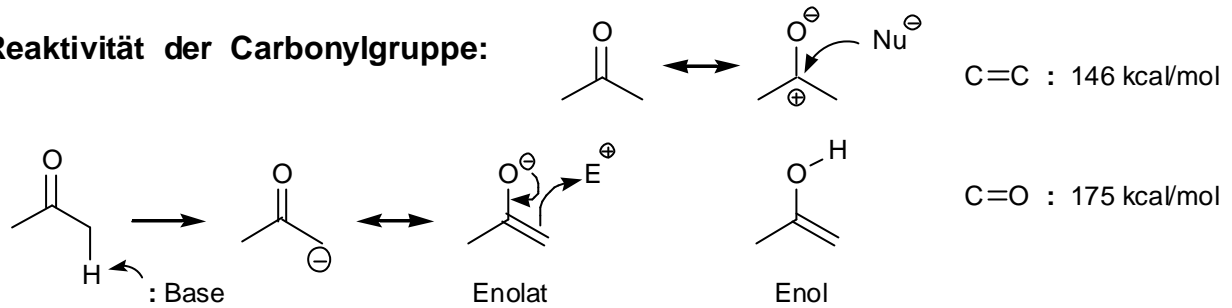
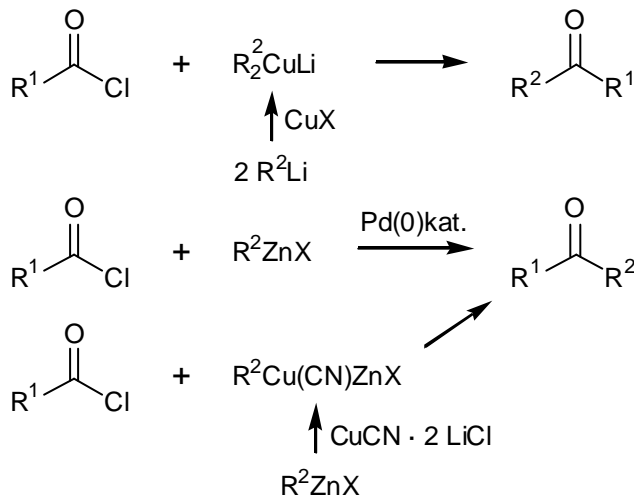


1) Darstellung von Aldehyden und Ketonen

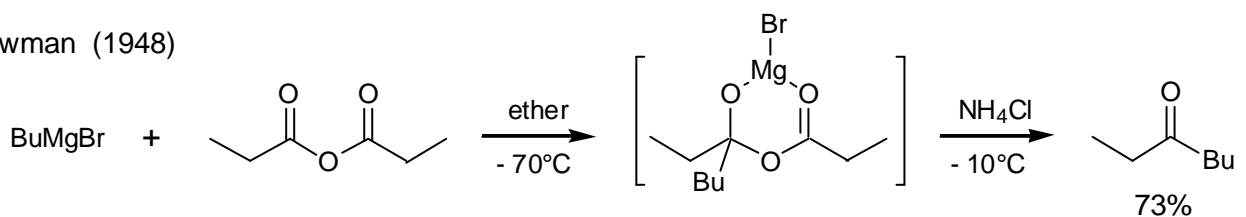
1.1. Reaktivität der Carbonylgruppe:



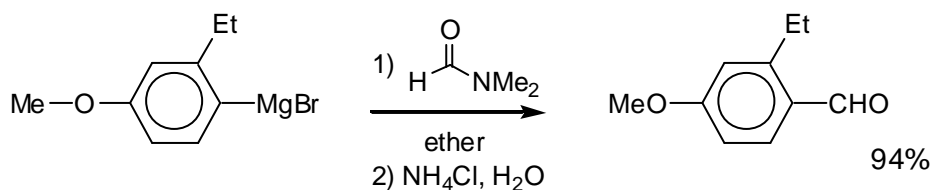
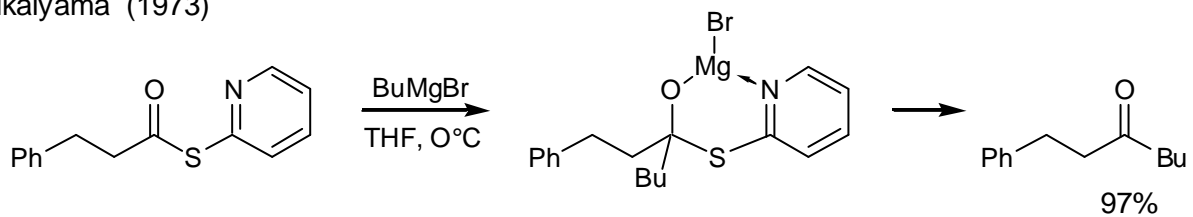
1.2. Metallorganische Synthese

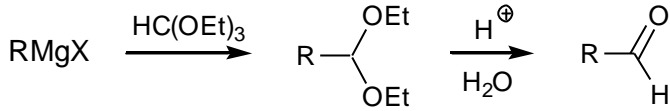
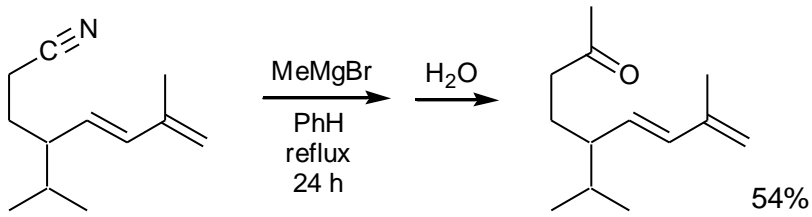


Newman (1948)



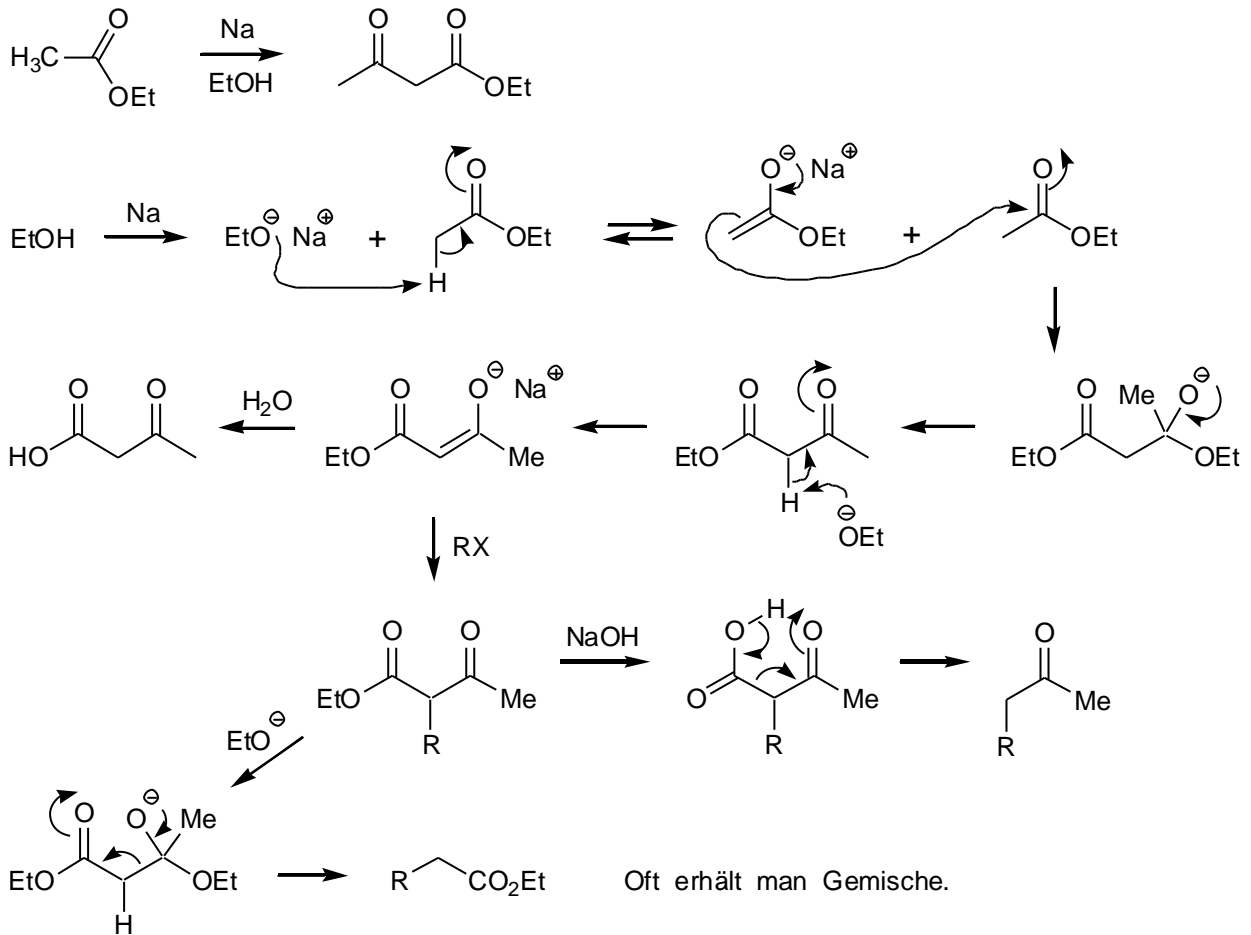
Mukaiyama (1973)



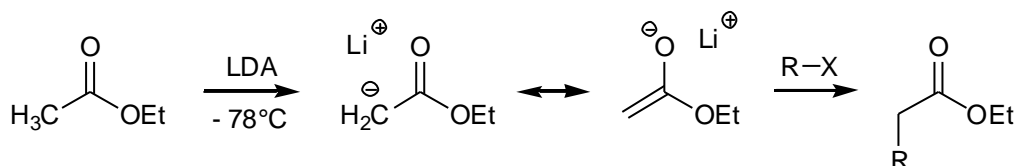


1.3. Enolat-Chemie

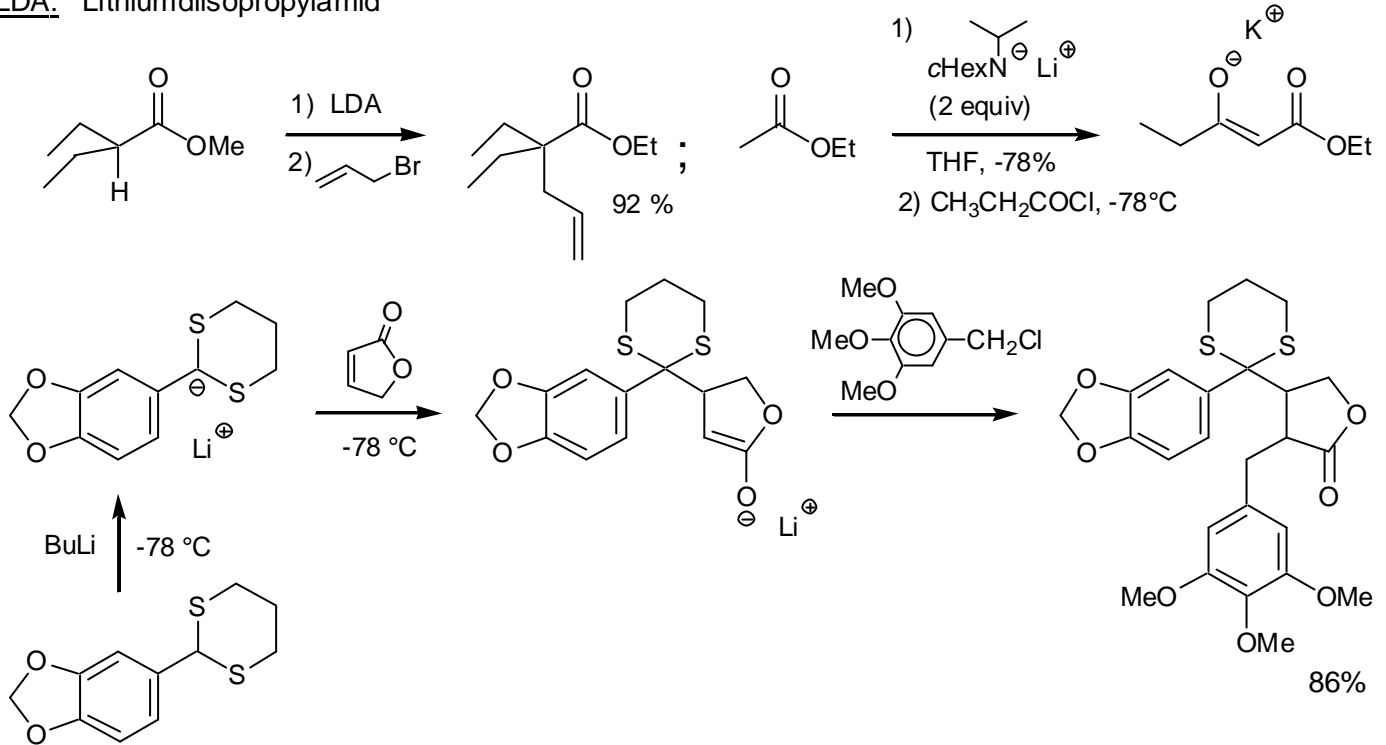
Claisen-Kondensation



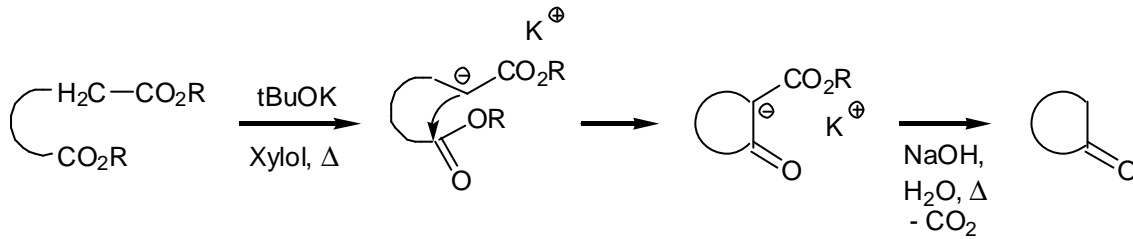
Moderne Methode: Stöchiometrische Bildung des Lithium-Enolats



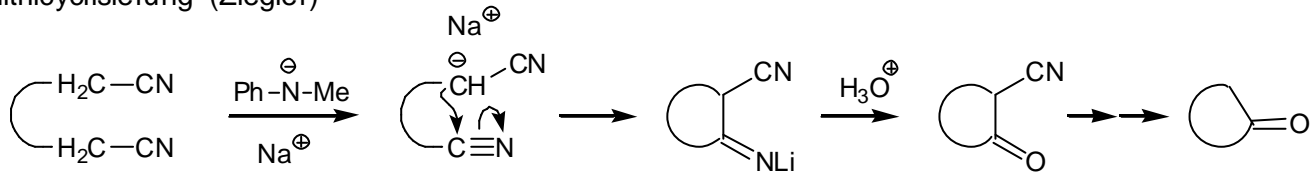
LDA: Lithiumdiisopropylamid



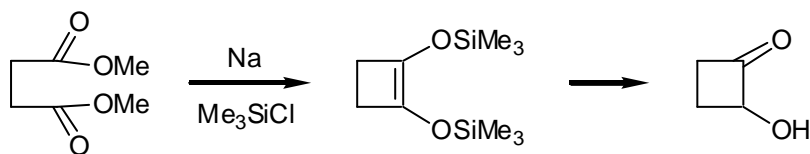
Intramolekulare Dieckmann-Kondensation



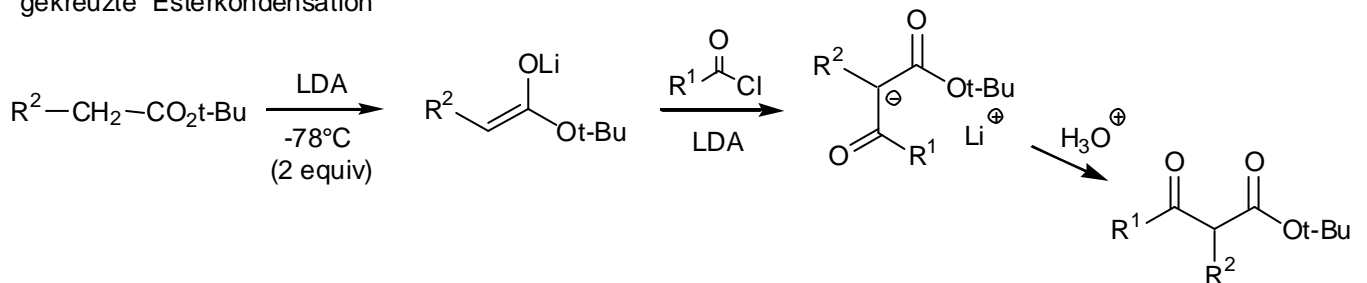
Dinitrilcyclisierung (Ziegler)



Acyloinkondensation



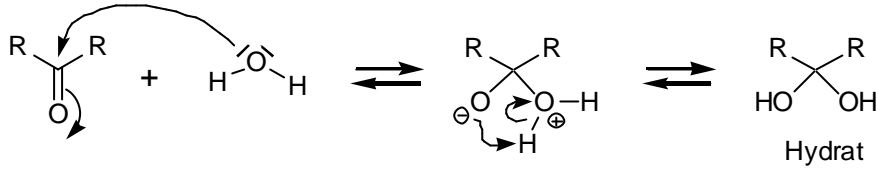
Ausbeute: 9- bzw. 10-Ringe: 30-42%; größere Ringe: > 90%
gekreuzte Esterkondensation



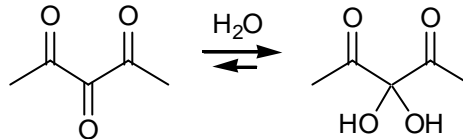
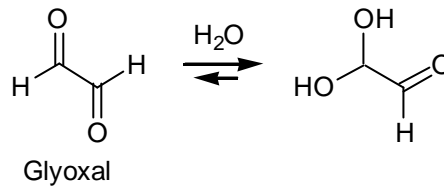
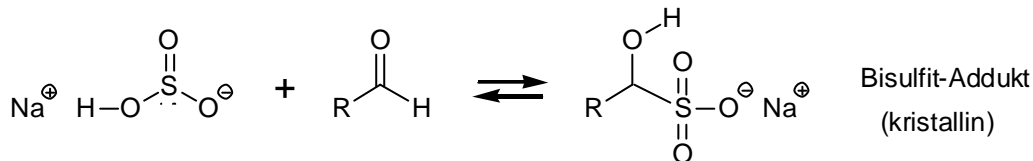
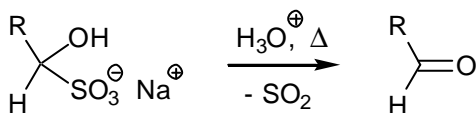
2) Reaktionen der Carbonylverbindungen

2.1. Addition nucleophiler Verbindungen

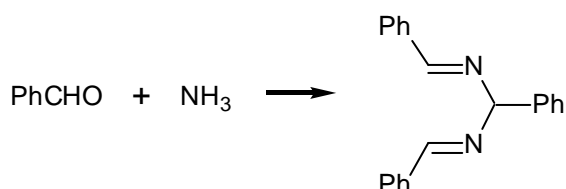
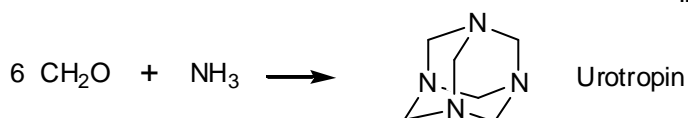
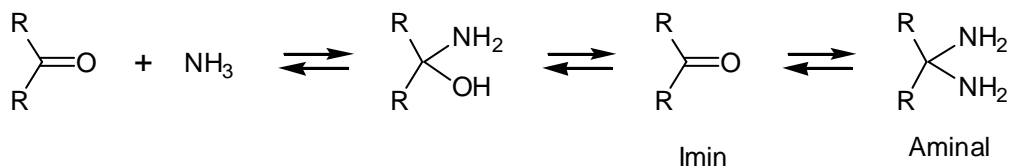
2.1.1. Addition von Wasser

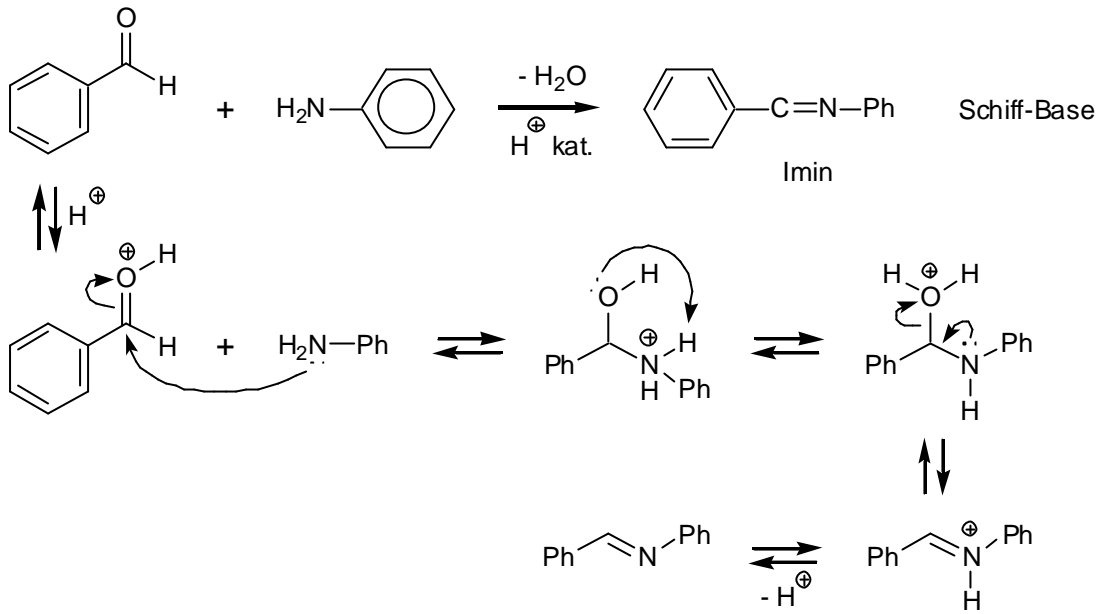
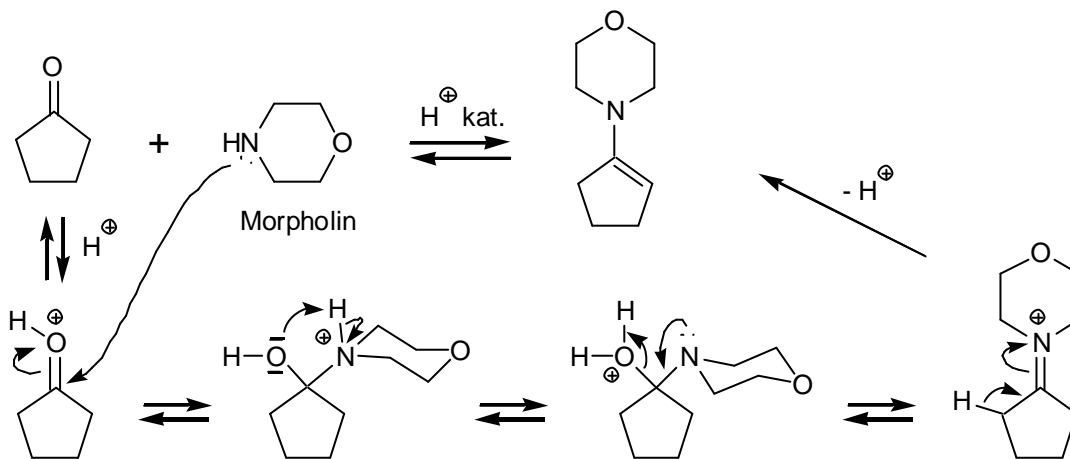


Verbindung	% Hydrat in H ₂ O
H ₂ C=O	> 98
CH ₃ CHO	64
CCl ₃ CHO	100
H ₃ C-C(=O)-CH ₃	0.1

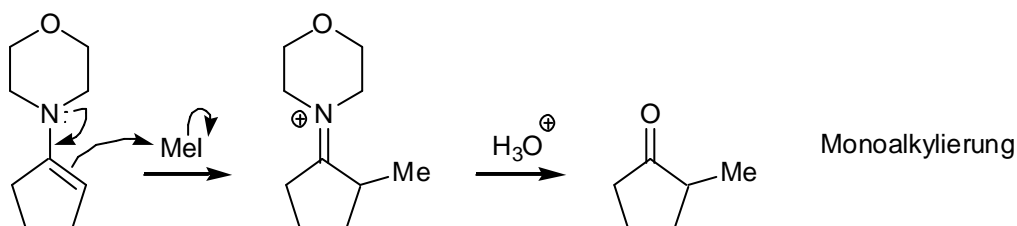
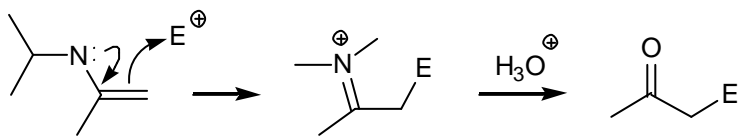
2.1.2. Addition von NaHSO₃ (Hydrogensulfit)Spaltung des Adduktes durch H₃O⁺

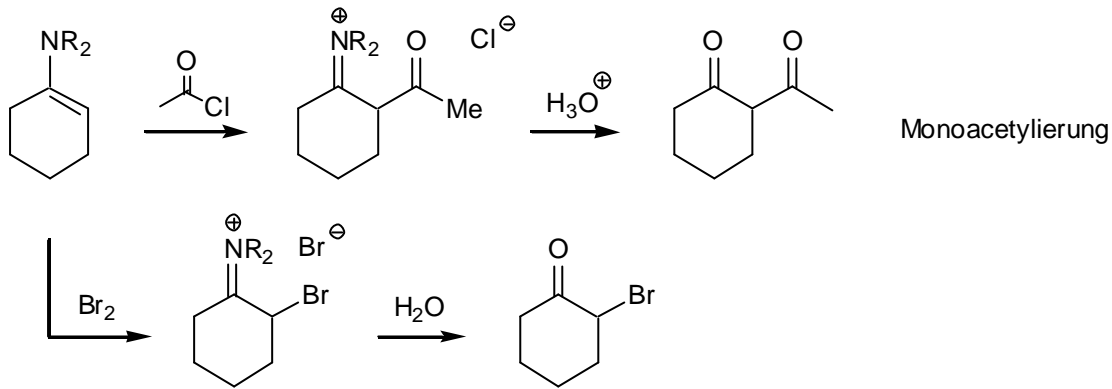
2.1.3. Addition von Aminen

NH₃

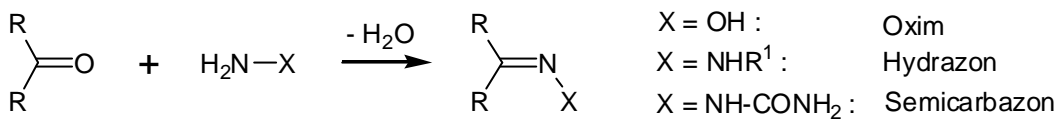
Primäre AmineSekundäre Amine

Reaktivität von Enaminen

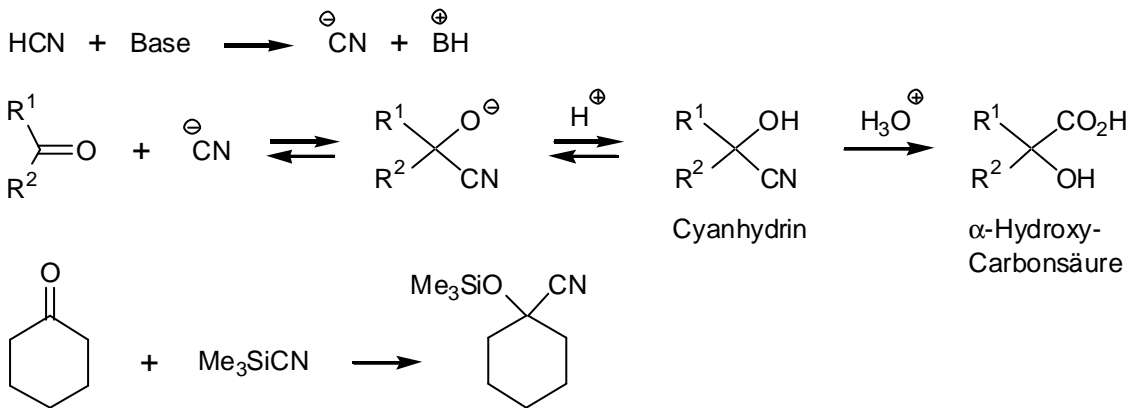




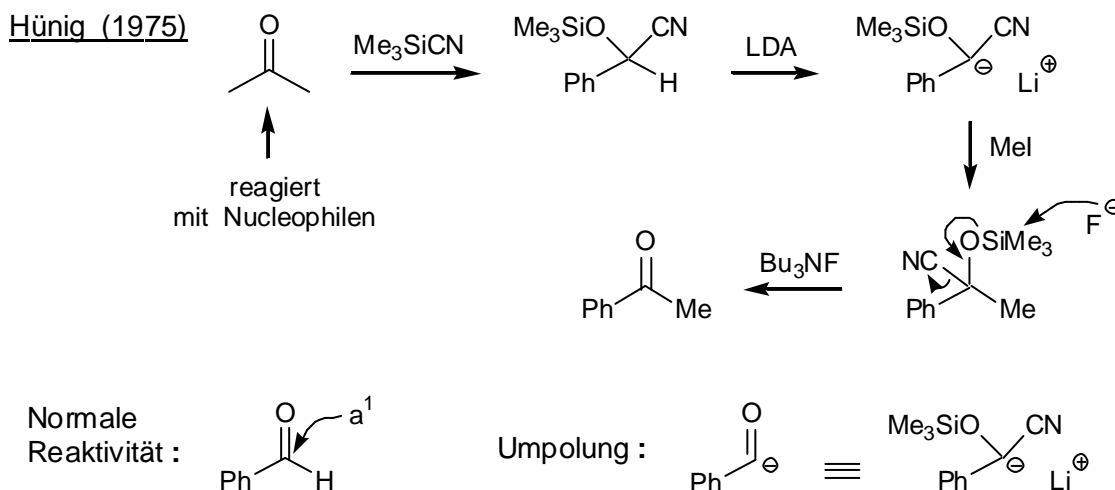
Hydroxylamin- und Hydrazin-Addition



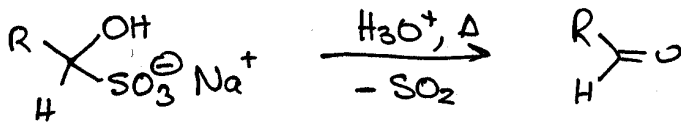
2.1.4. Addition von HCN



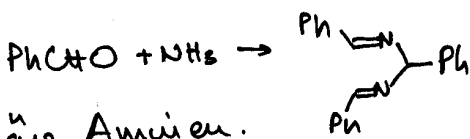
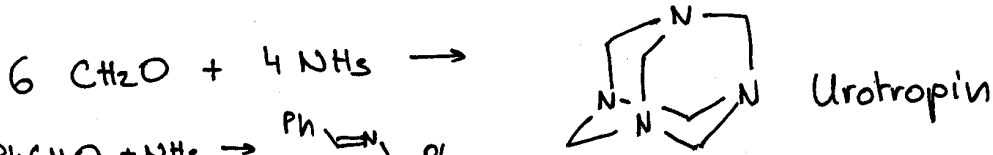
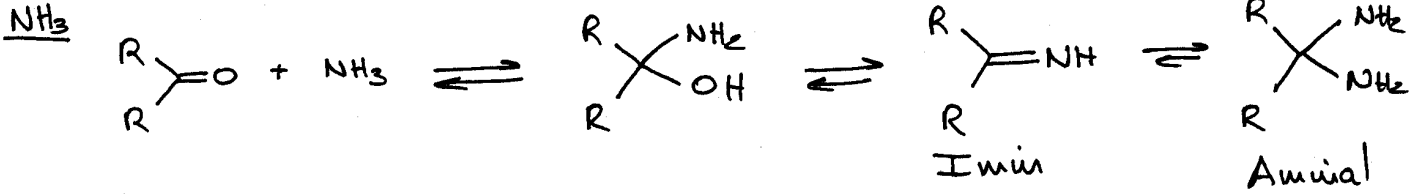
Umpolung der Reaktivität



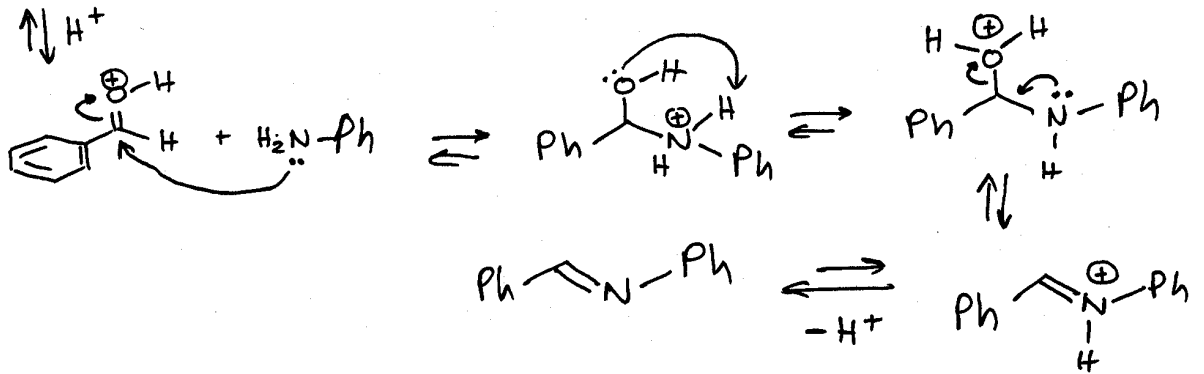
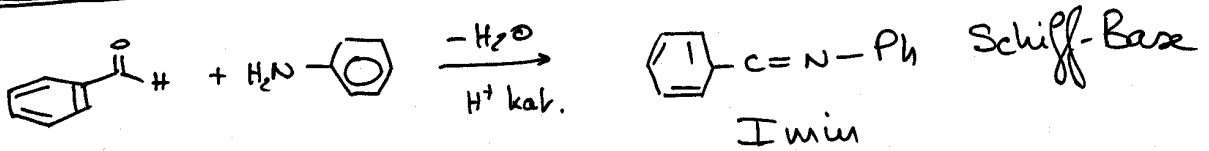
Spaltung der Addukt mit H_3O^+



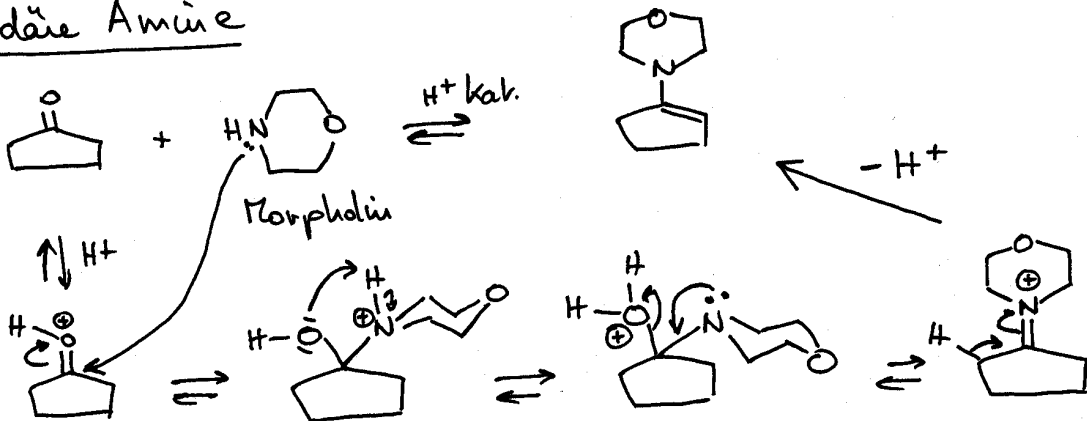
2.1.3. Addition von Aminen



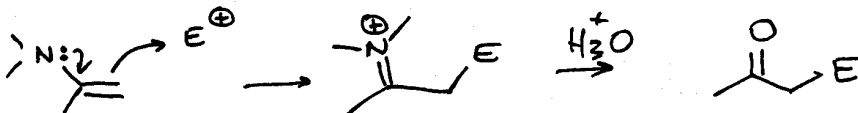
Primäre Amine

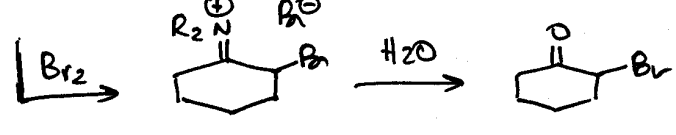
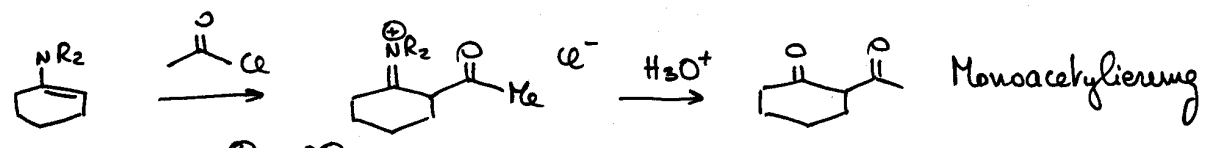
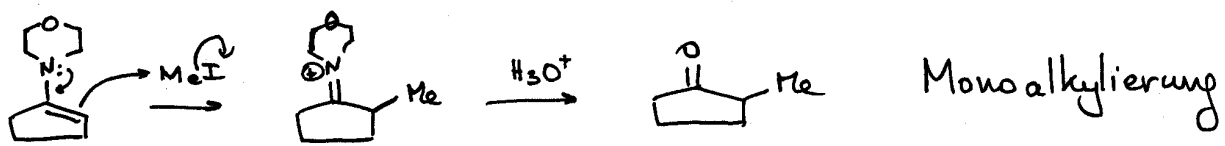


Sekundäre Amine

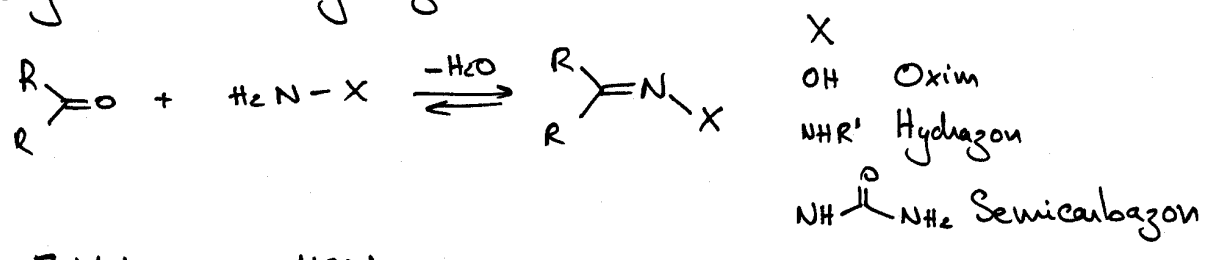


Reaktivität von Enamine

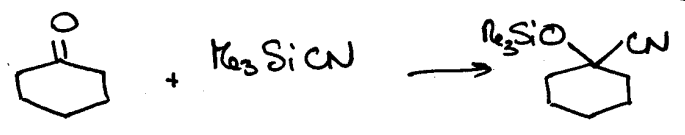
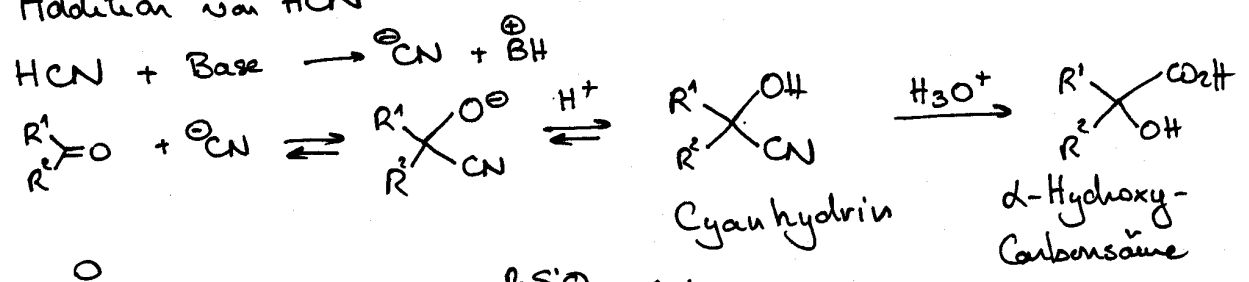




Hydroxylamin und Hydrazin Addition

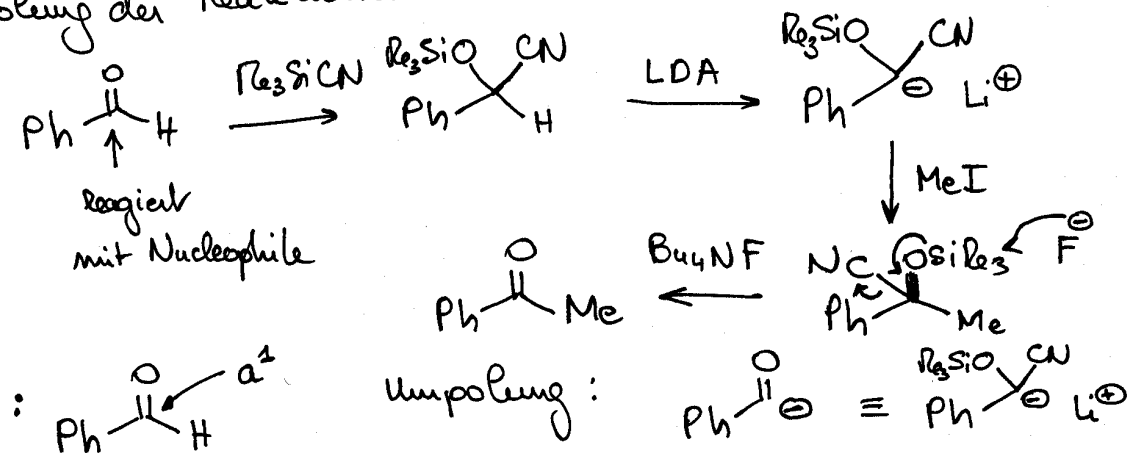


2.1.4. Addition von HCN

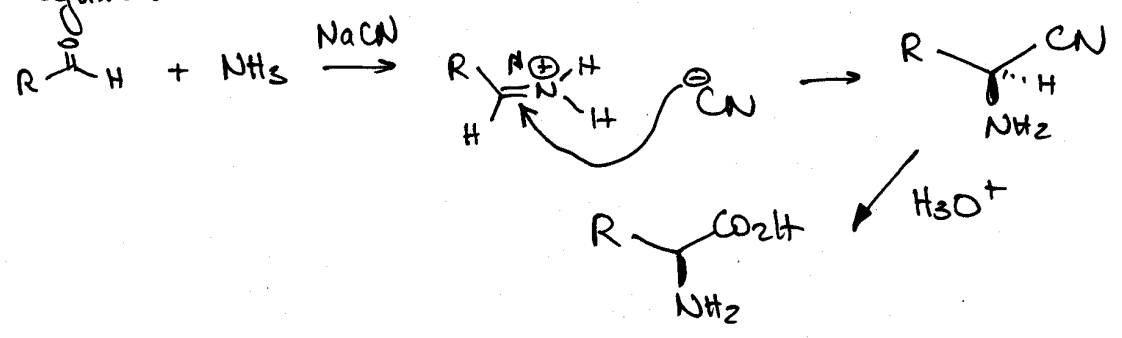


Umpolung der Reaktivität

Hünig (1975)

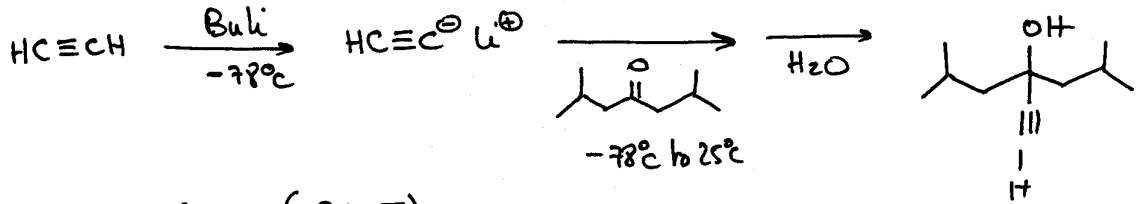
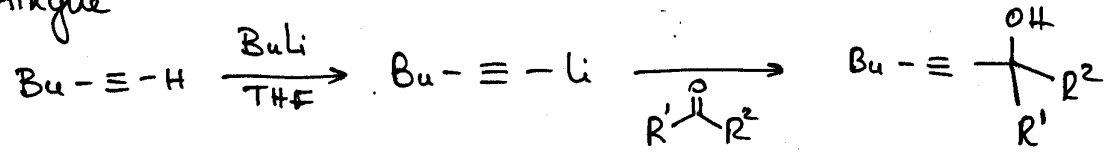


Strecker-Synthese von α -Aminosäuren

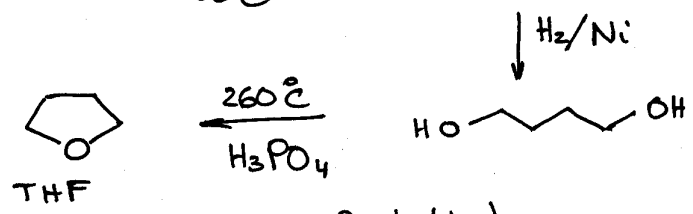
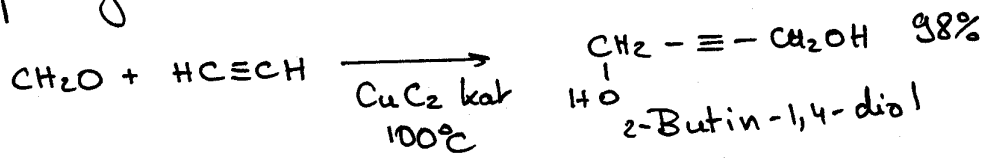


2.1.5. Addition von metallorganischen Reagenzien

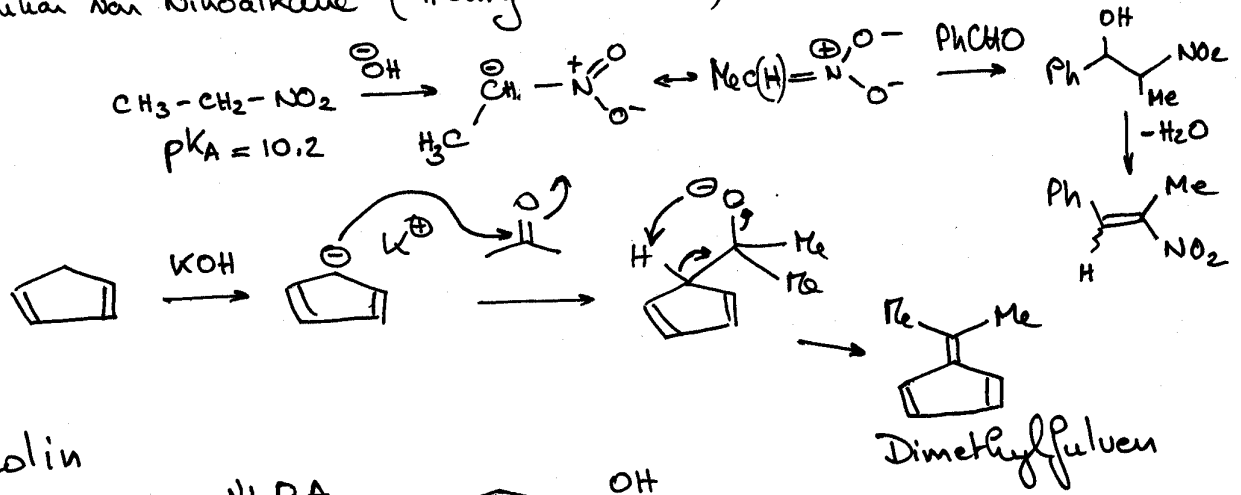
Alkyne



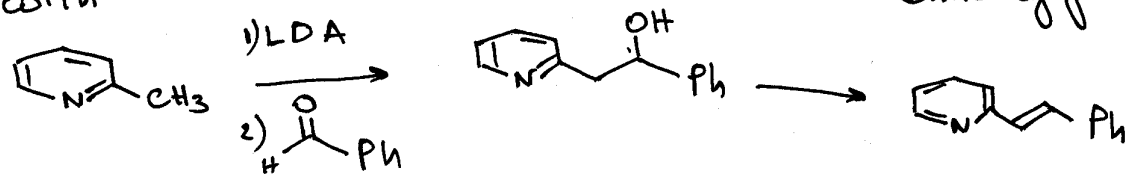
Reppé-Synthese (BASF)



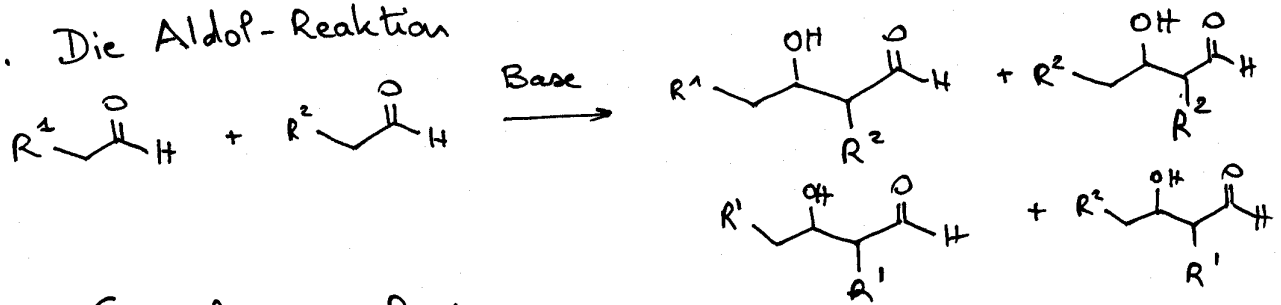
Addition von Nitroalkanen (Henry-Reaktion)



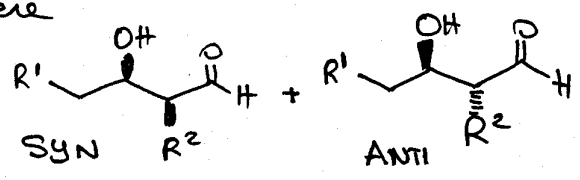
Picolin

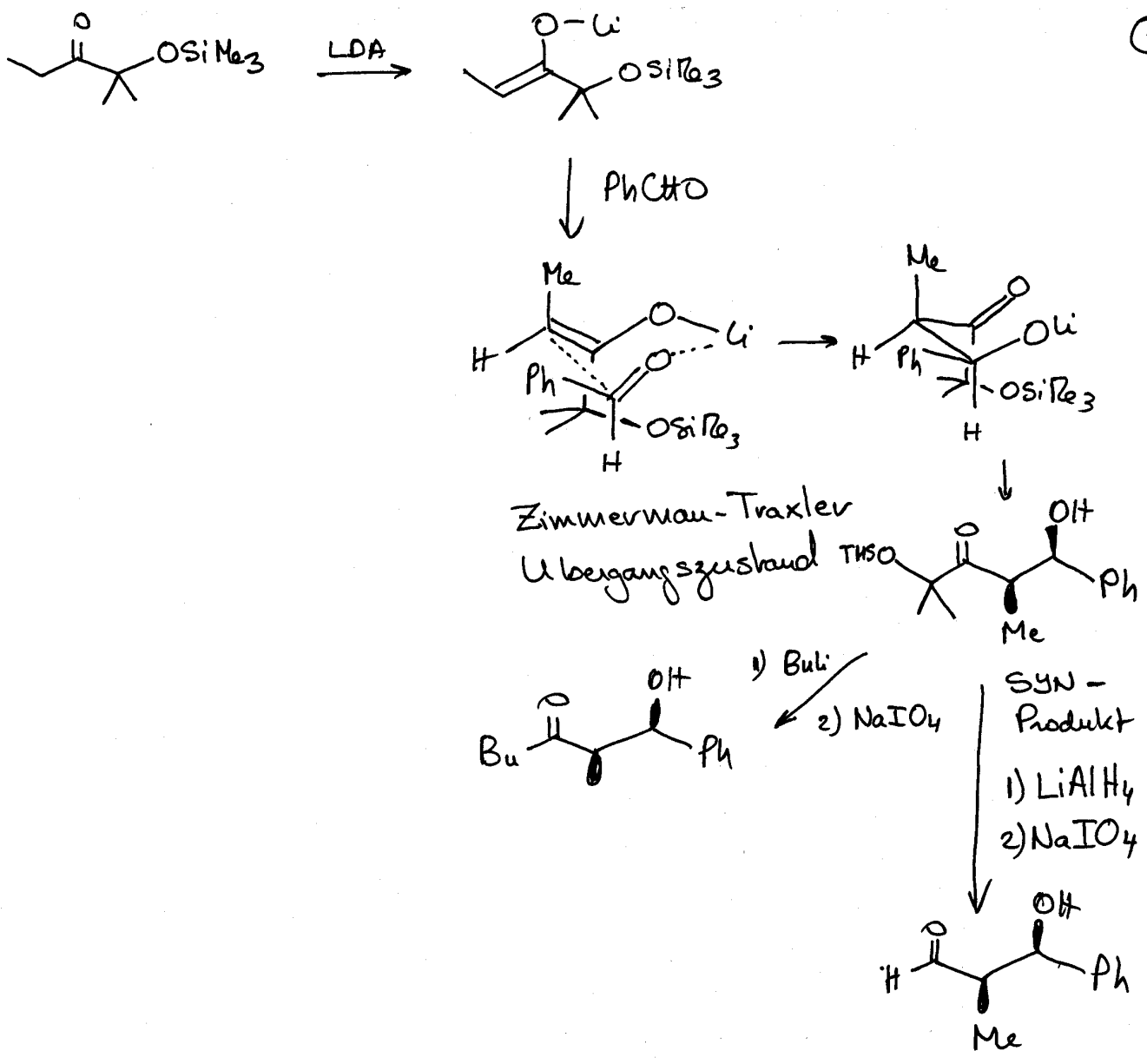


2.2. Die Aldol-Reaktion

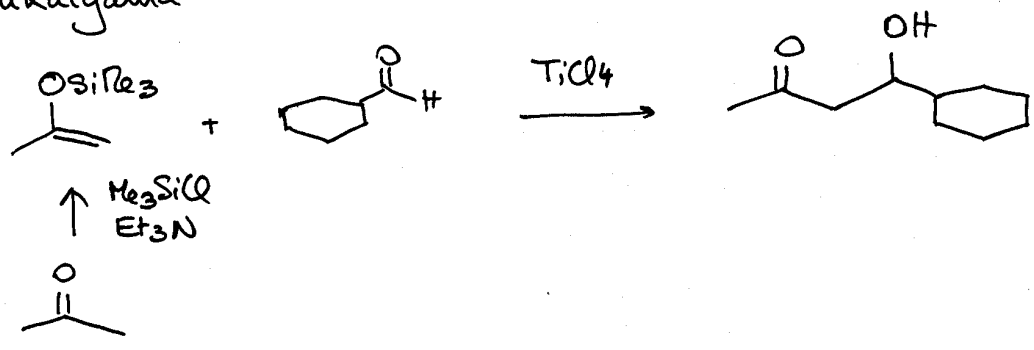


Gemische von Regioisomere und Stereoisomere

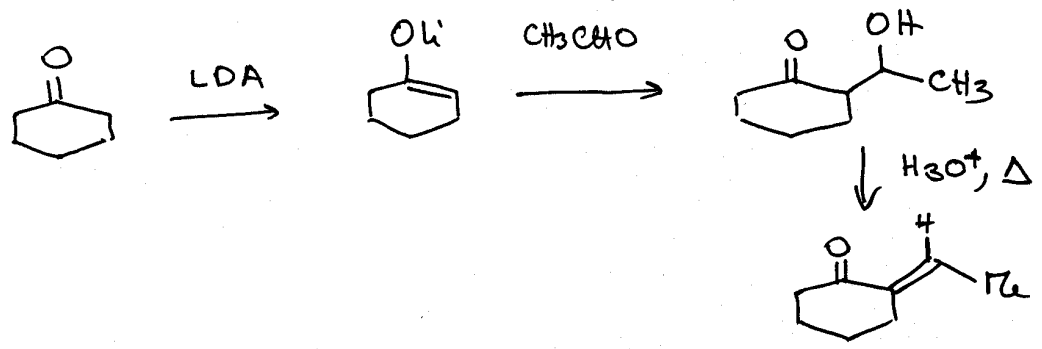




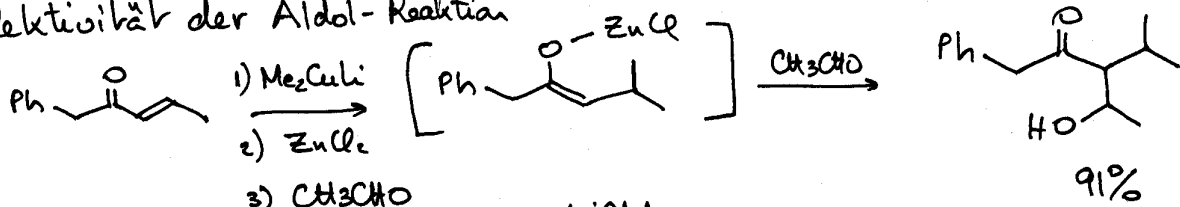
Mukaiyama - Methode



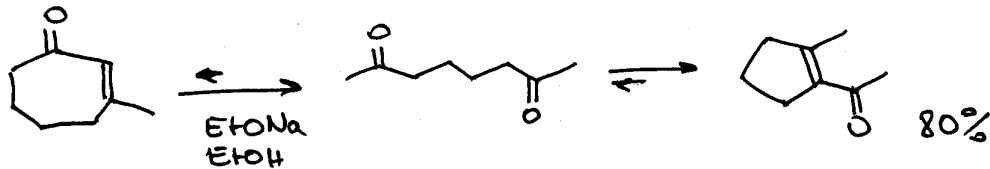
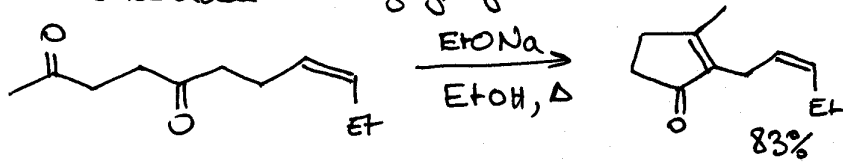
Aldol - Kondensation



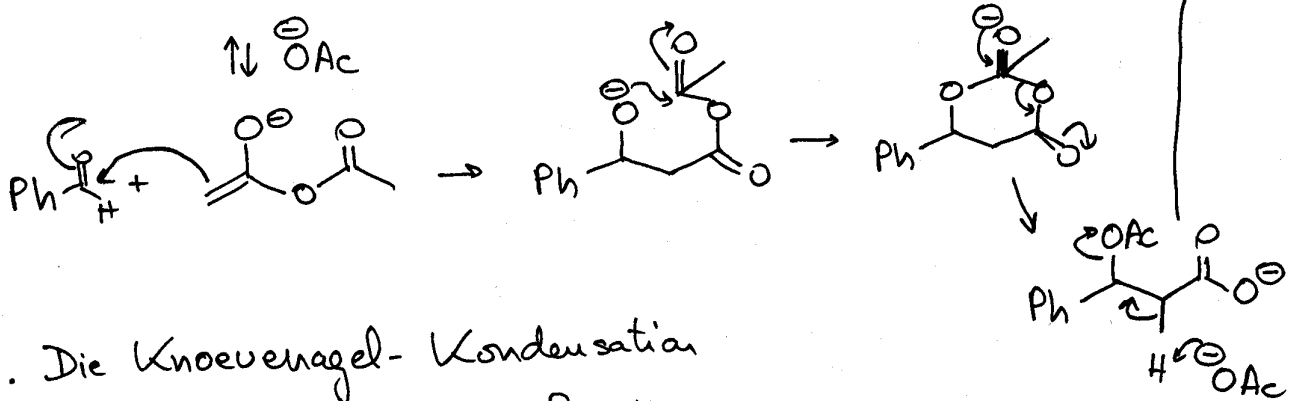
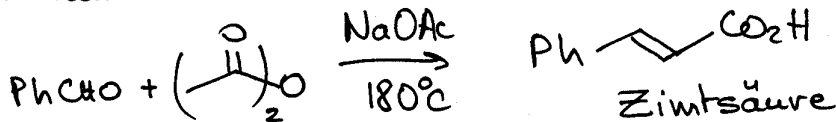
Selektivität der Aldol-Reaktion



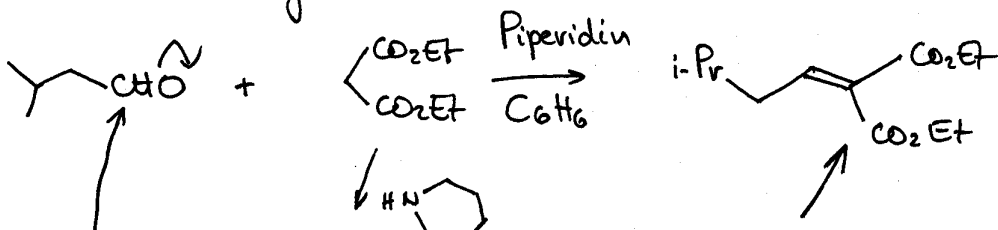
Cyclopentanone werden bevorzugt gebildet



2.3. Die Perkin-Reaktion

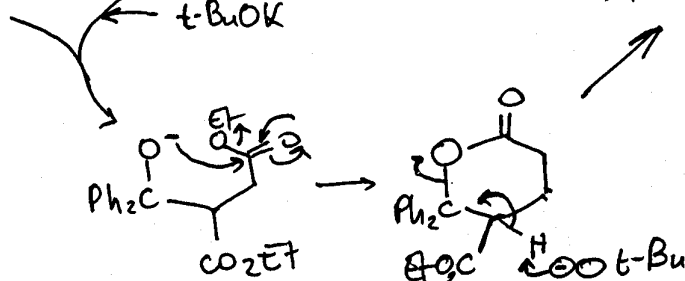
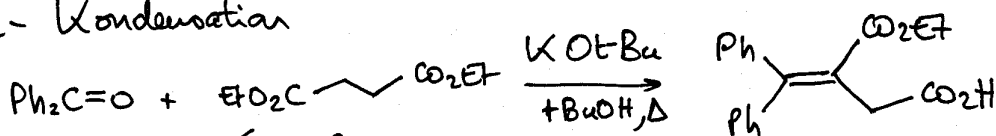


2.4. Die Knoevenagel-Kondensation



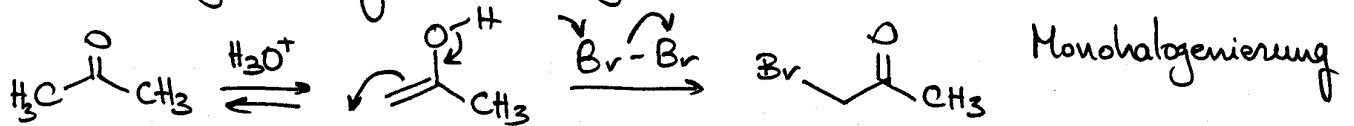
Analog:

die Stobbe-Kondensation

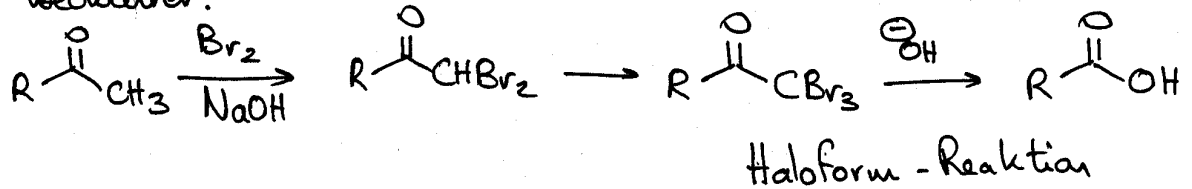


2.5. α -Halogenierung von Aldehyden und Ketonen

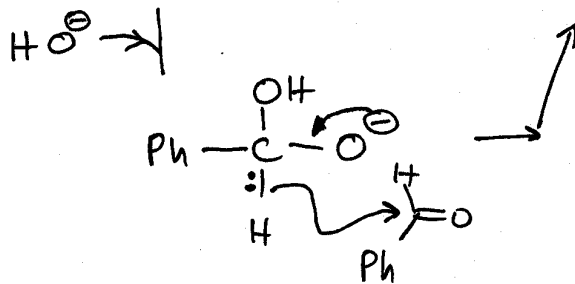
(9)



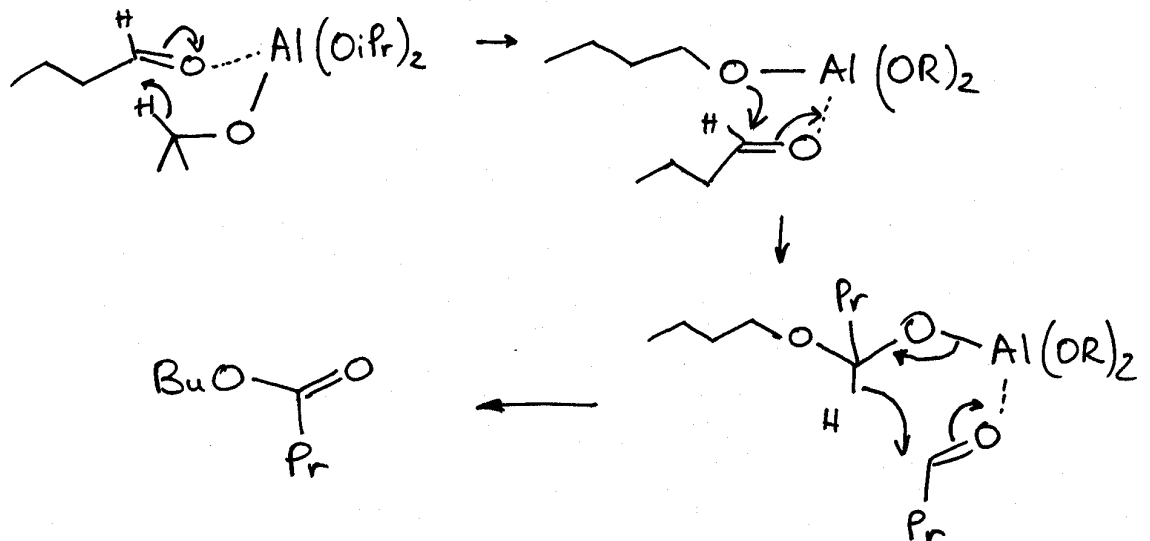
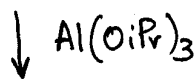
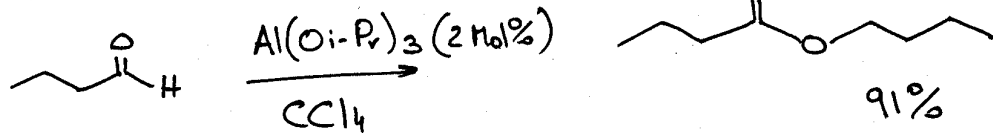
Geschw. = $k [\text{Acetal}][\text{H}_3\text{O}^+]$, Im basischen Medium wird eine Polybromierung beobachtet.



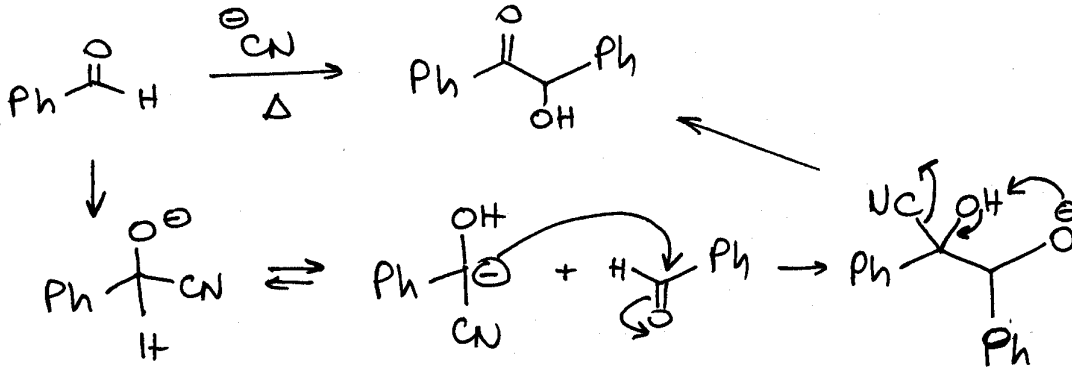
2.6. Cannizzaro - Reaktion



Tischenko - Claisen - Reaktion

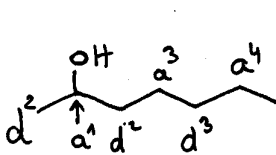


The Benzoin-Kondensation

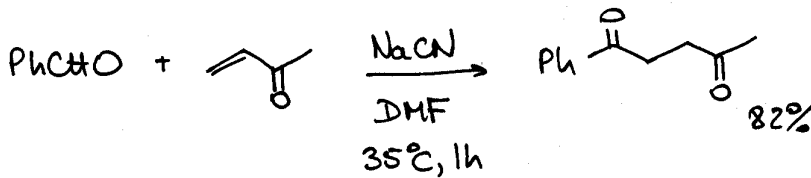
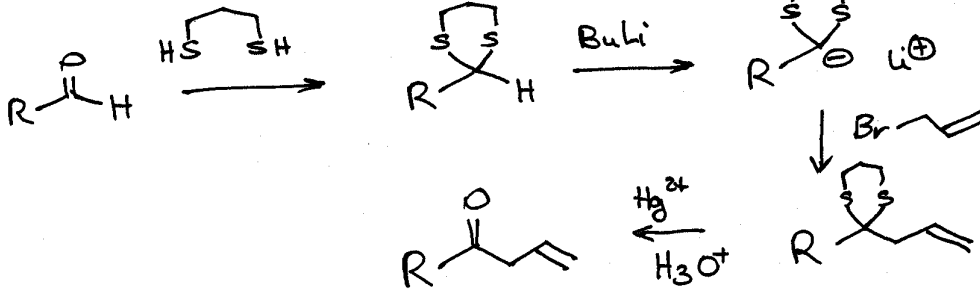
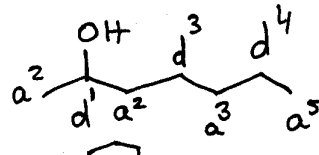


Umpolung der Reaktivität

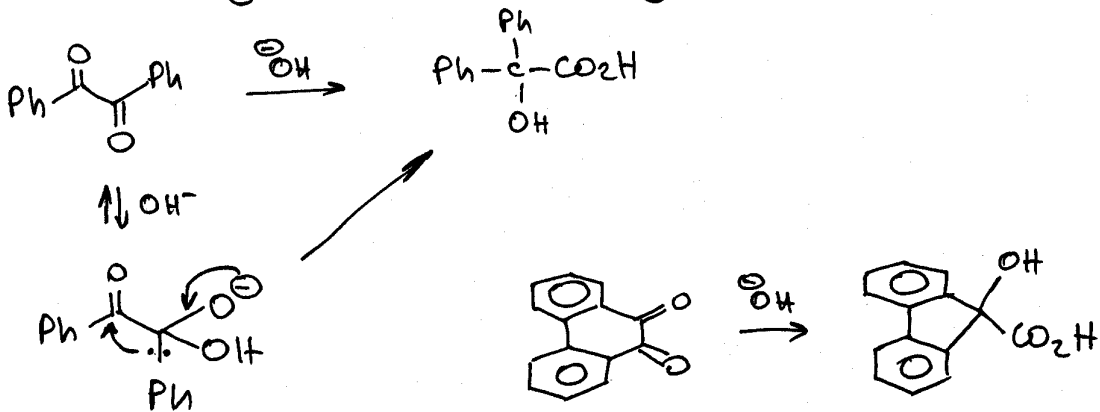
Normale Reaktivität



Umpolung: der Reaktivität

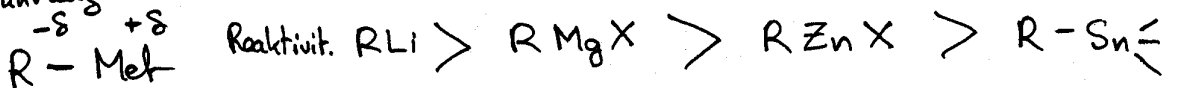


2.7. Die Benzilsäure-Umlagerung



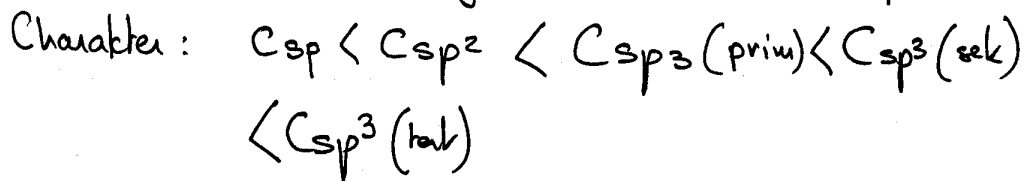
2.8. Reaktionen mit metallorganische Verbindungen

2.8.1. Einführung



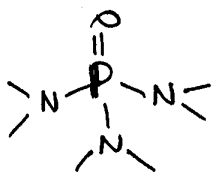
je elektropositiver das Metall desto reaktiver ist die entsprechende metallor-

gemischte Species. Die Reaktivität steigt auch nach erhöhtem p ①

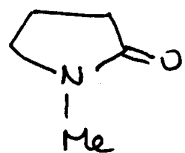


Metallorganische Verbindungen sind ^{meistens} reaktiver in THF als in Ether und in Ether als in Hexan. Die Verwendung eines polaren reaktiven

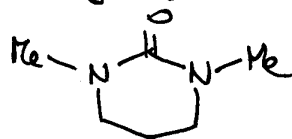
LM wie HMPT oder NMP beschleunigt viele metallorganische Reaktionen. DMPU ist auch gut geeignet.



HMPT

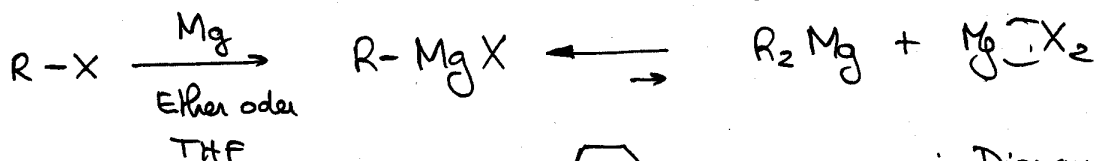


NMP

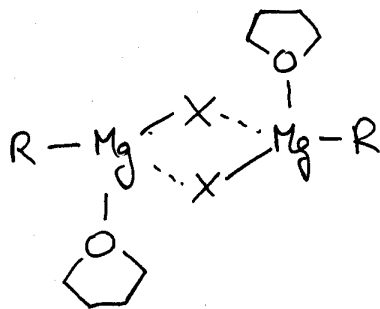


DMPU

2.8.2. Reaktionen von Grignard-Verbindungen

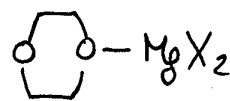


Struktur in Lösung

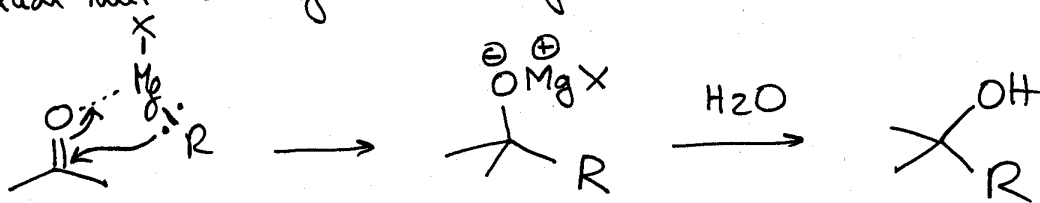


in Dioxan ($[O_6]$)

ist MgX_2 unlöslich



Reaktion mit Carbonyl-Verbindungen



Aldehyde \rightarrow sek. Alkohole

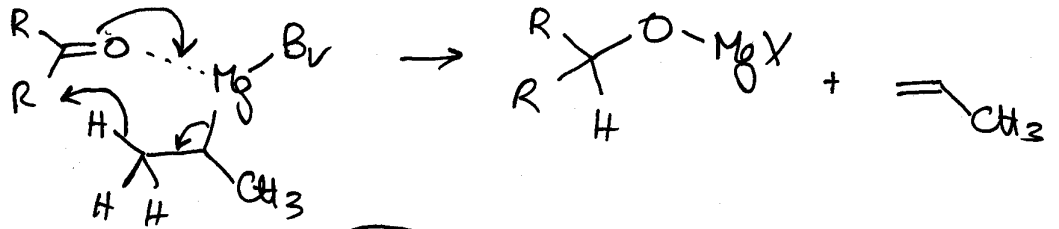
Ketone \rightarrow tert. Alkohole

CH_2O \rightarrow primäre Alkohole

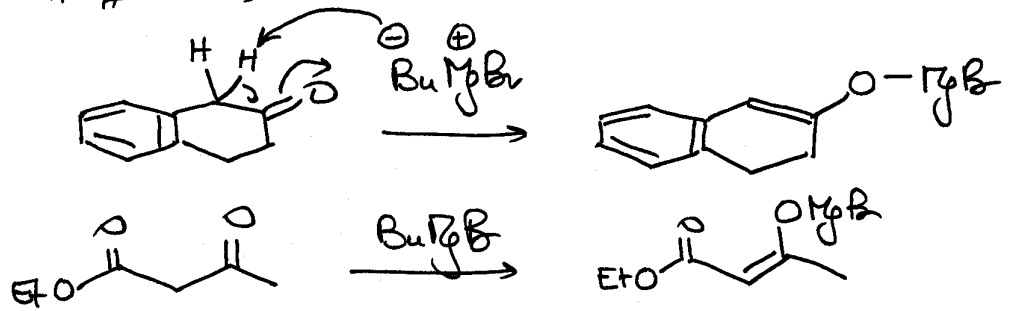
Nebenreaktionen

(12)

Reduktion:

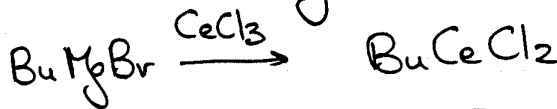


Enolisierung

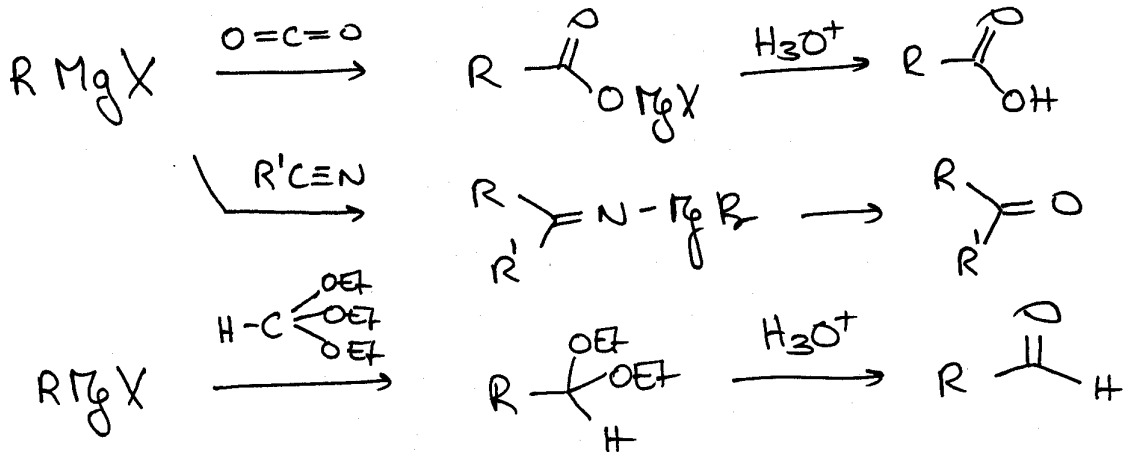
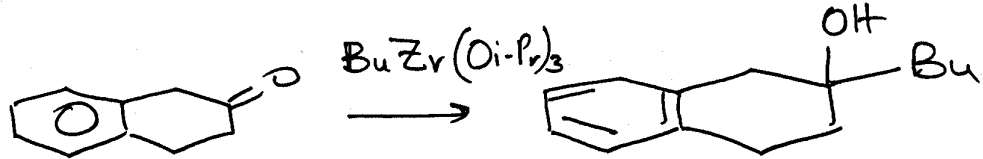
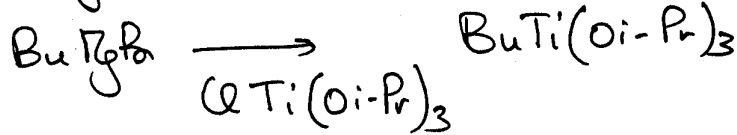


Lösung des Problems: Ummetallierung

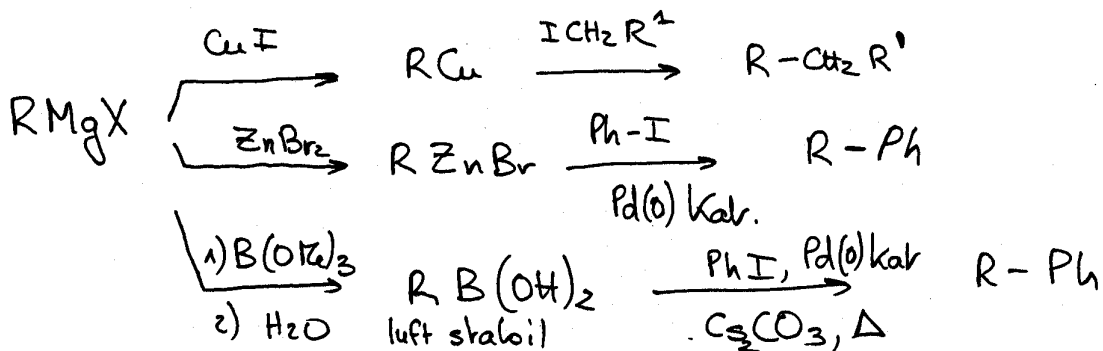
Imamoto



Reetz-Seebach

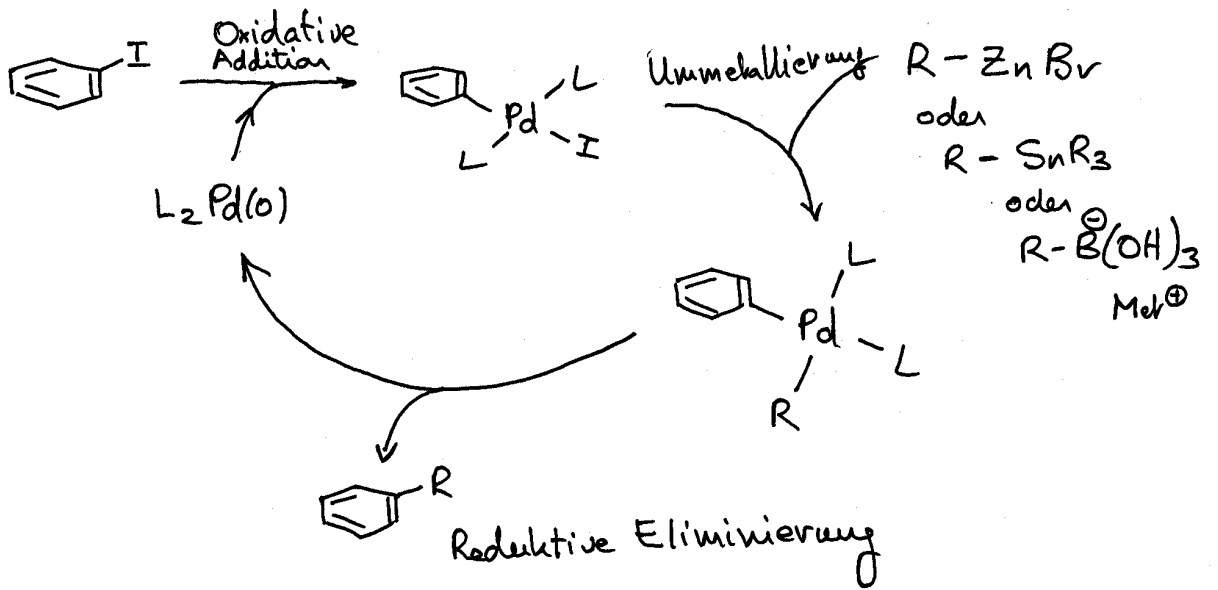


Substitutions-Reaktionen



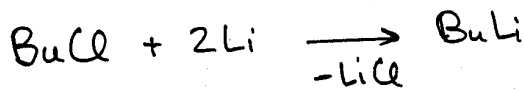
Substitution an C_{sp^2} -Zentren.

(13)

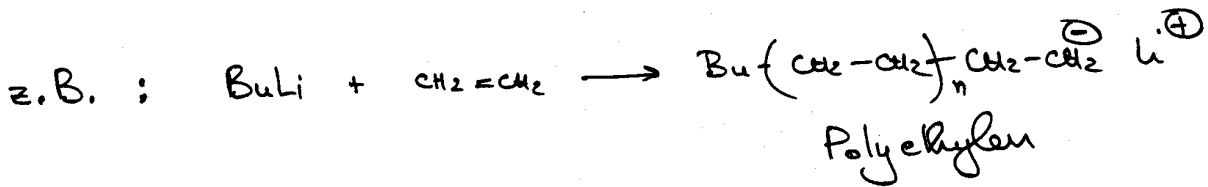


2.8.3. Reaktionen und Synthesen von Lithium-Verbindungen

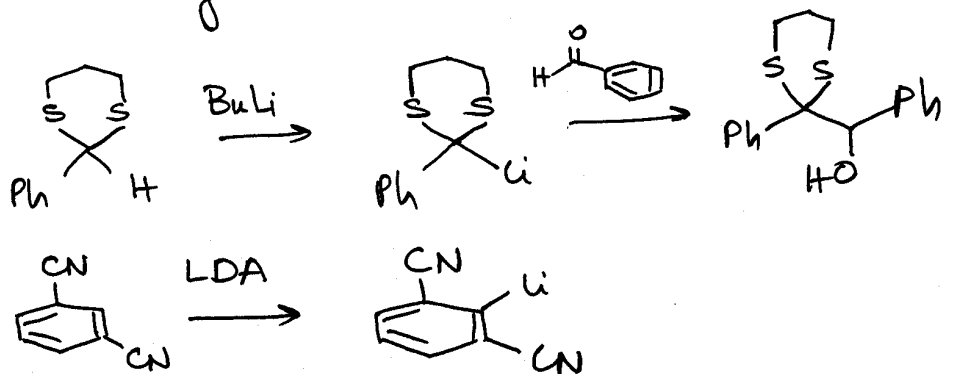
Herstellung
Methode 1



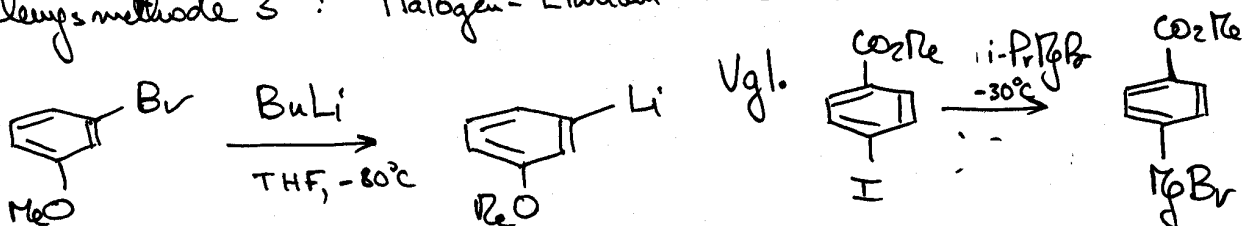
BuLi ist reaktiver als BuMgBr

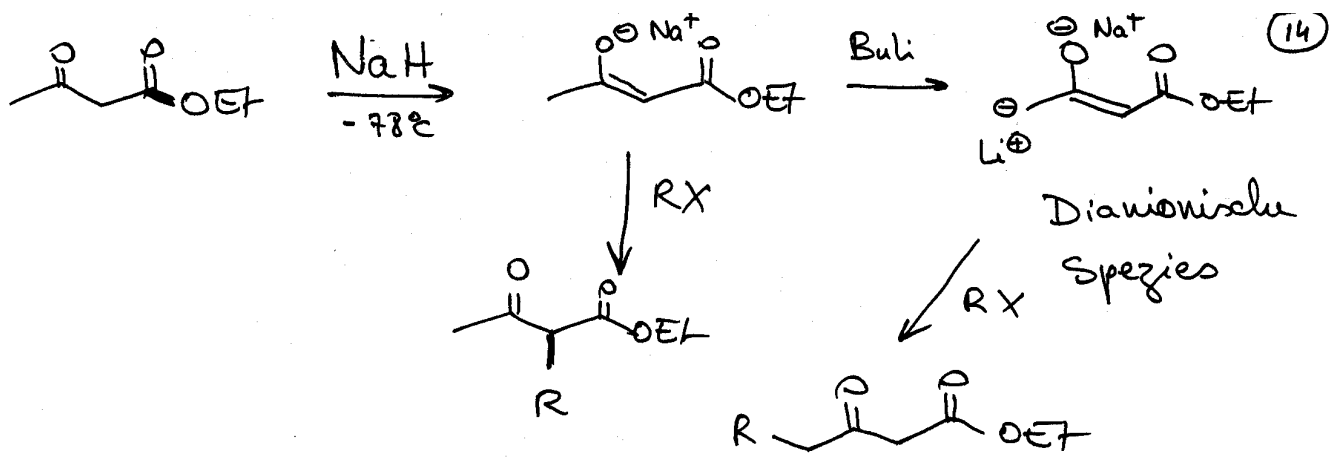


Herstellungsmethode 2: Metallierung

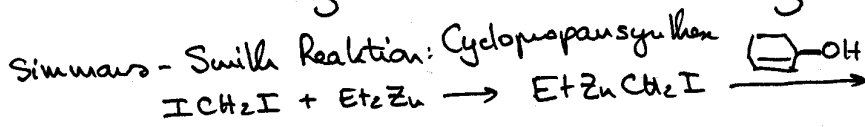
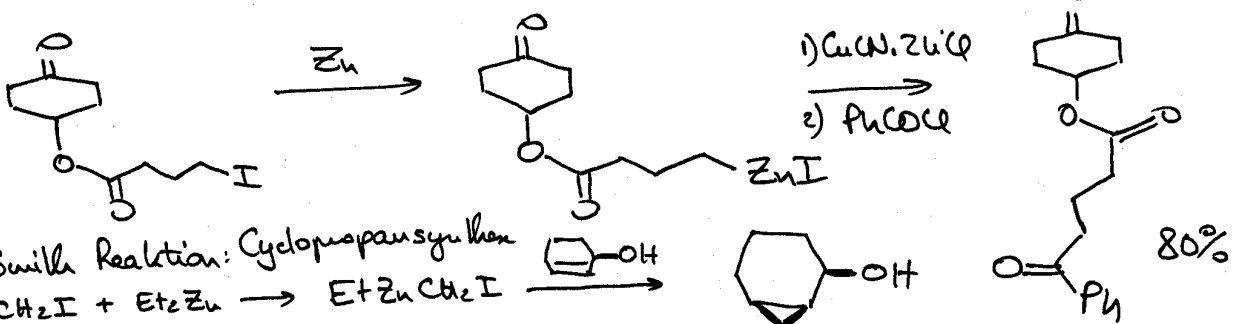
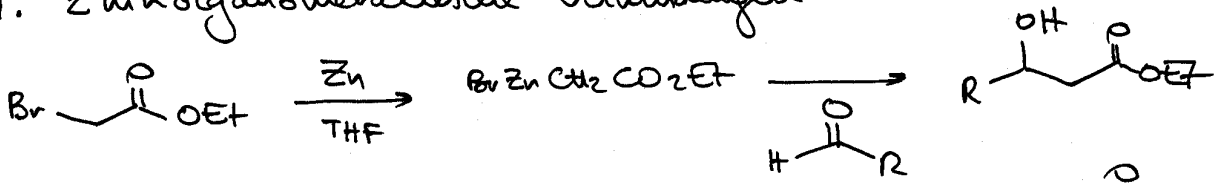


Herstellungsmethode 3: Halogen-Lithium-Austausch

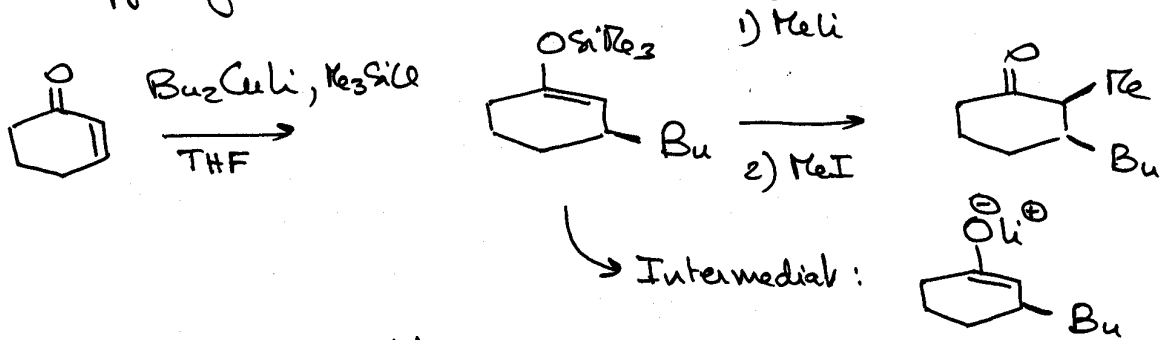




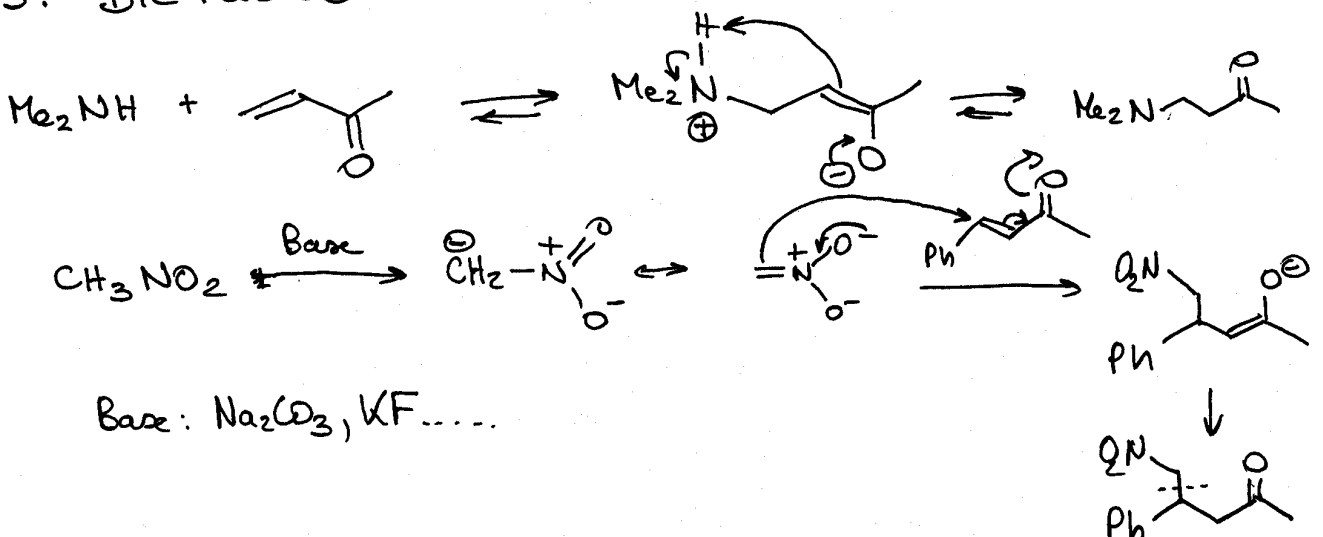
2.8.4. Zinkorganometallische Verbindungen



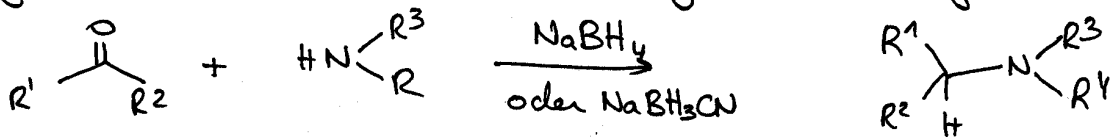
2.8.5. Kupferorganometallische Verbindungen



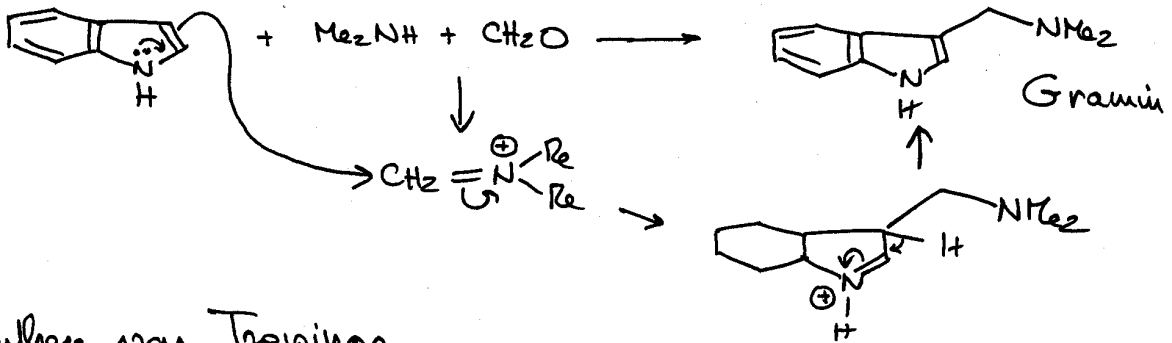
2.9. Die Michael-Addition



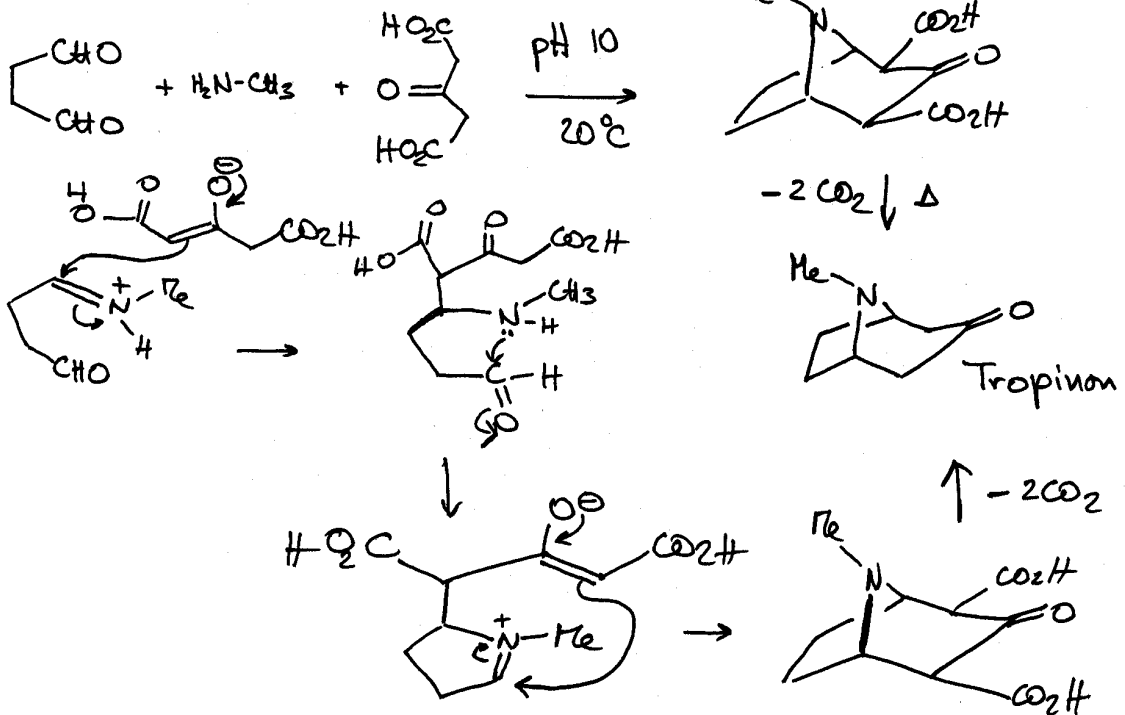
Vgl. mit der reduktive Aminierung von Carbonyl-Verbindungen



Synthese von Gramin

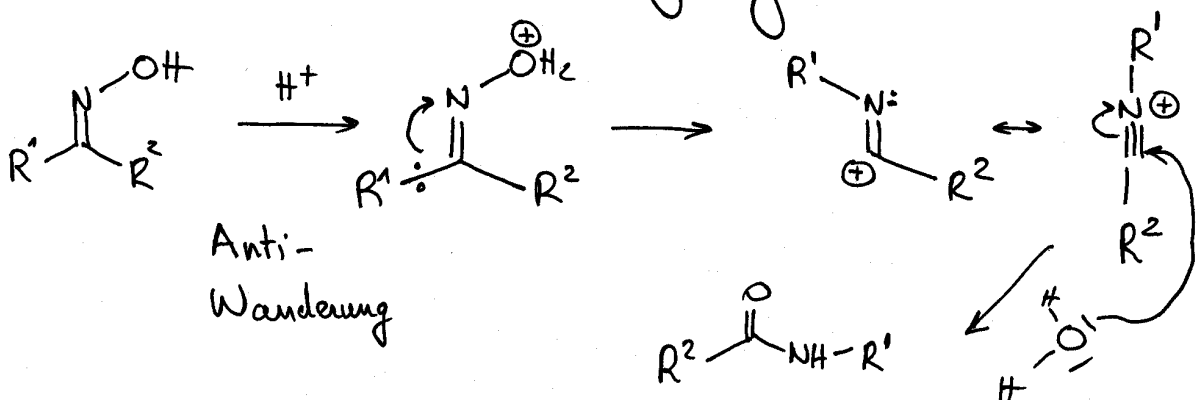


Synthese von Tropinon

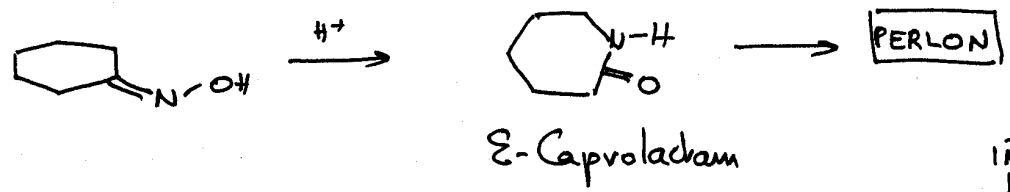


3. Umlagerungsreaktionen

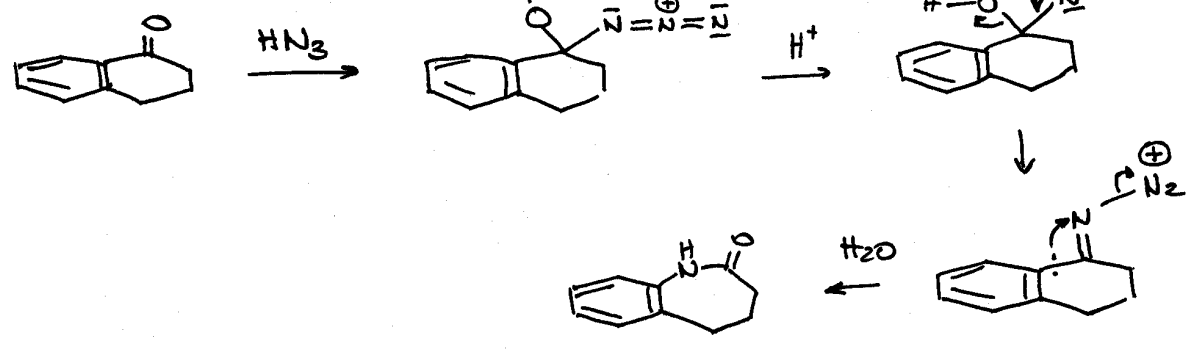
3.1. Die Beckmann-Umlagerung



Von Cyclohexanon zu Teflon

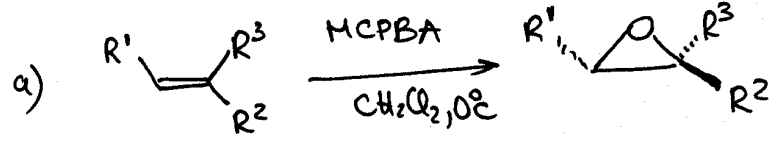


3.2. Schmidt-Abbau

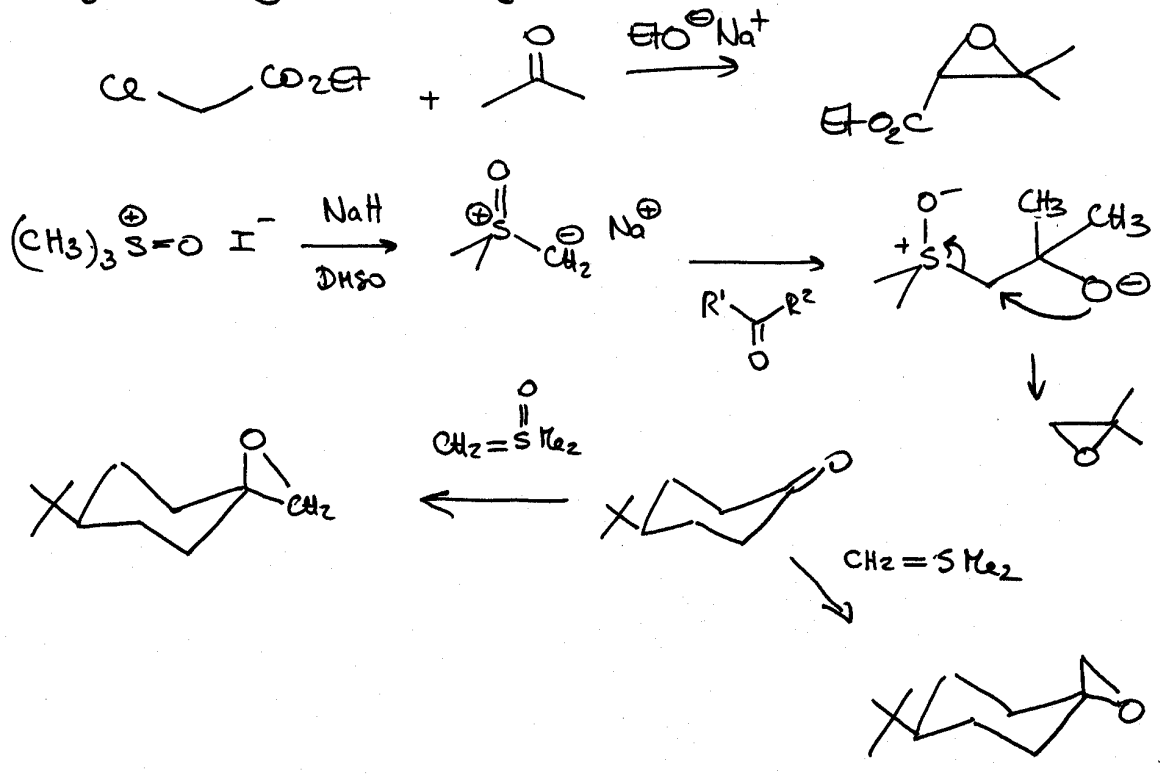


4. Synthese ausgewählter Heterocyclen

4.1. Oxirane

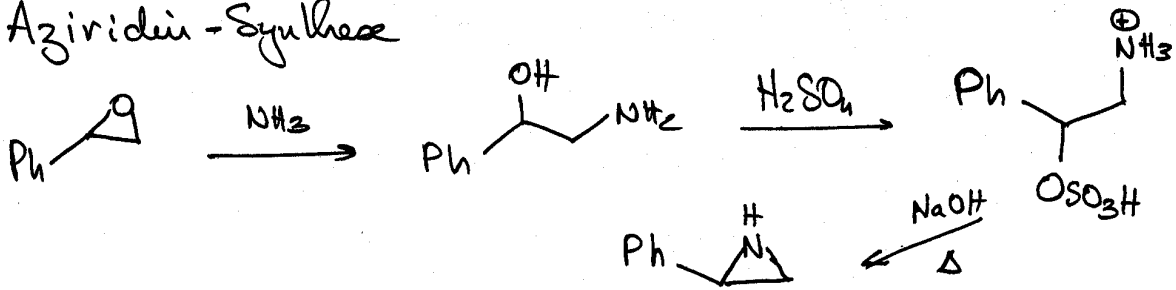


b) Darzens-Glycidester-Synthese

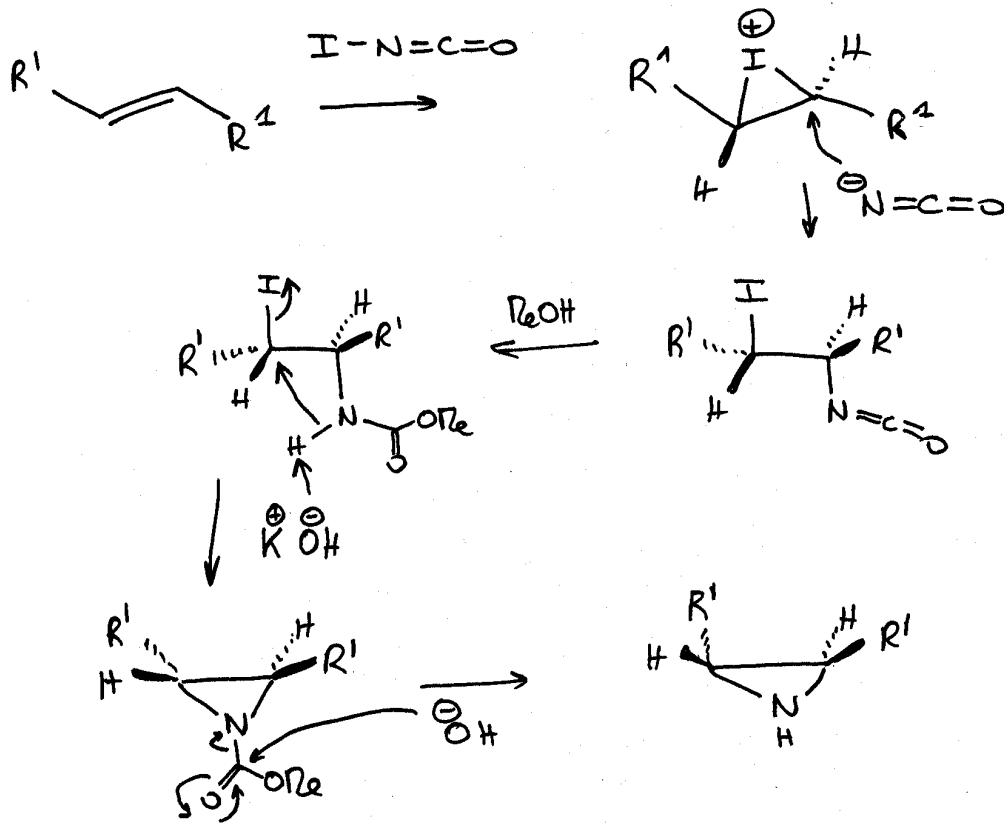


4.2 Aziridin-Synthese

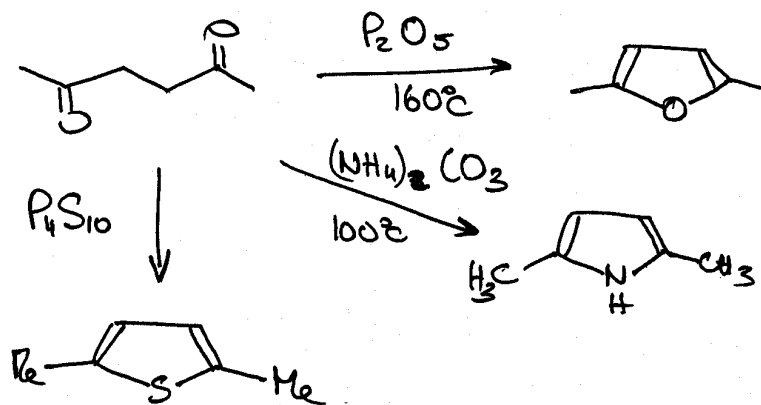
18



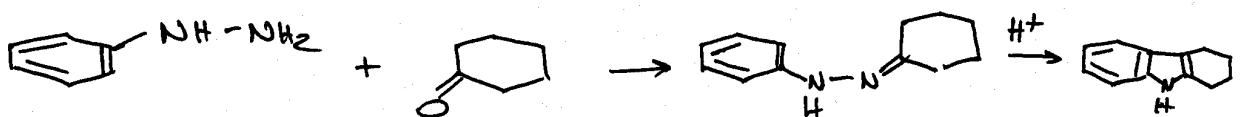
Mildere Methode

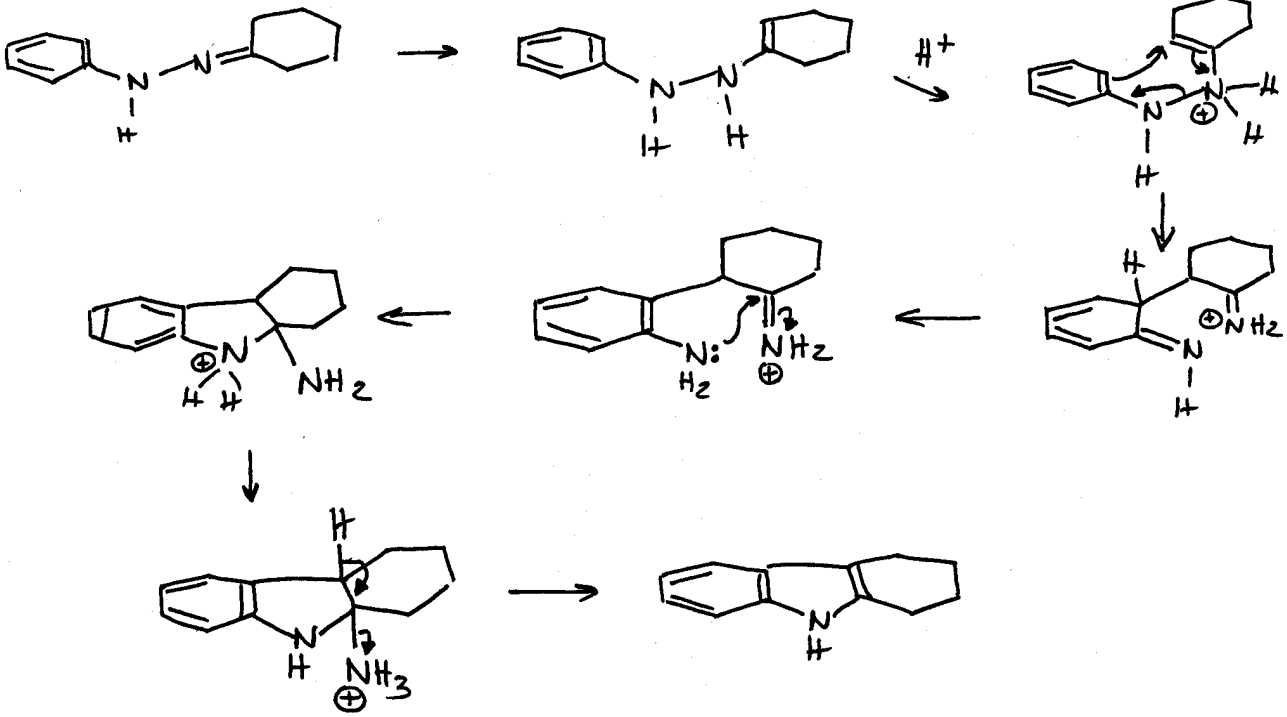


4.3 Furan, Pyrrole und Thiophen



4.4 Fischer-Indolsynthese





4.5. Hantzsch - Pyridinsynthese

